

Υπολογιστικές Μέθοδοι

<http://eclass.uoa.gr/courses/PHYS186/>

Διδάσκοντες:

Φ. Διάκονος

Δ. Φασουλιώτης

➤ Επίλυση μερικών διαφορικών εξισώσεων

Τα δύο είδη ταξινόμησης των ΜΔΕ:

Σύμφωνα με τα μορφολογικά χαρακτηριστικά τους, οι ΜΔΕ μπορούν να χωριστούν σε τρεις κατηγορίες:

$$a \frac{\partial^2 A}{\partial x^2} + b \frac{\partial^2 A}{\partial x \partial y} + c \frac{\partial^2 A}{\partial y^2} + d \frac{\partial A}{\partial x} + e \frac{\partial A}{\partial y} + fA + g = 0$$

$b^2 - 4ac > 0$ υπερβολική
 $b^2 - 4ac = 0$ παραβολική
 $b^2 - 4ac < 0$ ελλειπτική

Σύμφωνα με την υπολογιστική αντιμετώπισή τους

Προβλήματα αρχικών τιμών

Θερμική
διάχυση

$$\frac{\partial}{\partial t} T(x, t) = \kappa \frac{\partial^2}{\partial x^2} T(x, t)$$

Κυματική
εξίσωση

$$\frac{\partial^2}{\partial t^2} A(x, t) = v^2 \frac{\partial^2}{\partial x^2} A(x, t)$$

Προβλήματα συνοριακών τιμών

$$\frac{\partial^2}{\partial x^2} \Phi(x, y) + \frac{\partial^2}{\partial y^2} \Phi(x, y) = -\frac{1}{\varepsilon} \rho(x, y)$$

Εξίσωση Poisson

$$\frac{\partial}{\partial t} T(x,t) = \kappa \frac{\partial^2}{\partial x^2} T(x,t)$$

1. Conduction of heat in bars and solids
2. Diffusion of concentration of liquid or gaseous substance in physical chemistry
3. Diffusion of neutrons in atomic piles
4. Diffusion of vorticity in viscous fluid flow
5. Telegraphic transmission in cables of low inductance or capacitance
6. Equilization of charge in electromagnetic theory.
7. Long wavelength electromagnetic waves in a highly conducting medium
8. Slow motion in hydrodynamics
9. Evolution of probability distributions in random processes.

$$\frac{\partial^2}{\partial t^2} A(x,t) = v^2 \frac{\partial^2}{\partial x^2} A(x,t)$$

1. Linearized supersonic airflow
2. Sound waves in a tube or a pipe
3. Longitudinal vibrations of a bar
4. Torsional oscillations of a rod
5. Vibration of a flexible string
6. Transmission of electricity along an insulated low-resistance cable
7. Long water waves in a straight canal.

$$\frac{\partial^2}{\partial x^2} \Phi(x, y) + \frac{\partial^2}{\partial y^2} \Phi(x, y) = -\frac{1}{\varepsilon} \rho(x, y)$$

1. Steady state temperature
2. Steady state electric field (voltage)
3. Inviscid fluid flow
4. Gravitational field.

Φιλοσοφία της μεθόδου

- 1) Δημιουργούμε χρονικό και χωρικό πλέγμα με βήμα τ και h
- 2) Σε κάθε χρονικό βήμα υπολογίζουμε όλες τις χωρικές ποσότητες **ικανοποιώντας τις όποιες συνοριακές συνθήκες**
- 3) Προχωράμε σε επόμενο χρονικό βήμα

Για να το πετύχουμε αυτό μετατρέπουμε τις παραγώγους σε διαφορές:

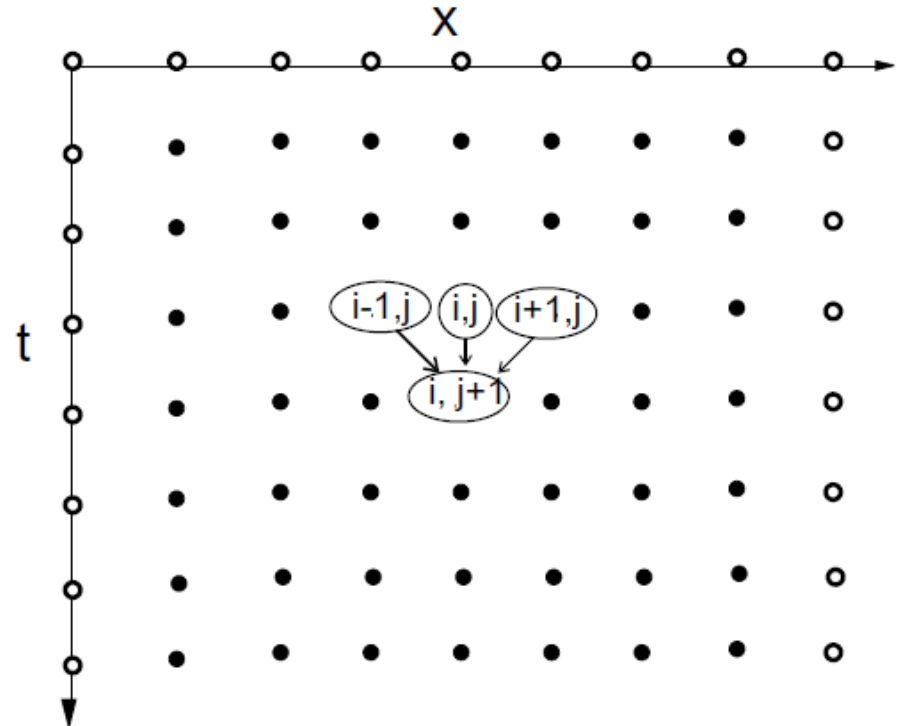
$$\frac{\partial A(\vec{r}, t)}{\partial t} = \frac{A(\vec{r}, t_{n+1}) - A(\vec{r}, t_n)}{\tau} \qquad \frac{\partial A(\vec{r}, t)}{\partial t} = \frac{A(\vec{r}, t_{n+1}) - A(\vec{r}, t_{n-1})}{2\tau}$$

$$\frac{\partial^2 A(\vec{r}, t)}{\partial t^2} = \frac{A(\vec{r}, t_{n+1}) - 2A(\vec{r}, t_n) + A(\vec{r}, t_{n-1}))}{\tau^2}$$

Οπότε η διαφορική εξίσωση μετατρέπεται σε εξίσωση διαφορών

Φιλοσοφία της μεθόδου

- 1) Δημιουργούμε χρονικό και χωρικό πλέγμα με βήμα τ και h
- 2) Σε κάθε χρονικό βήμα υπολογίζουμε όλες τις χωρικές ποσότητες **ικανοποιώντας τις** όποιες **συνοριακές συνθήκες**
- 3) Προχωράμε σε επόμενο χρονικό βήμα



$$\left. \begin{aligned} \mathbf{H} &= -K \nabla T(\mathbf{x}, t) \\ Q(t) &= \int d\mathbf{x} C \rho(\mathbf{x}) T(\mathbf{x}, t) \end{aligned} \right\} \frac{\partial T(\mathbf{x}, t)}{\partial t} = \frac{K}{C\rho} \nabla^2 T(\mathbf{x}, t)$$



Μία διάσταση

$$\frac{\partial}{\partial t} T(x, t) = \kappa \frac{\partial^2}{\partial x^2} T(x, t)$$

Για να ορίσουμε το πρόβλημα χρειαζόμαστε

Αρχικές συνθήκες

Συνοριακές συνθήκες

π.χ.

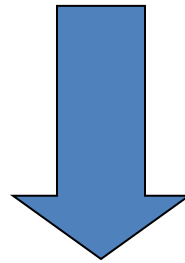
$$T(x, t = 0) = 100^\circ\text{C}$$

$$T(x = 0, t) = T(x = L, t) = 0^\circ\text{C}$$

$$\frac{\partial}{\partial t} T(x, t) = \kappa \frac{\partial^2}{\partial x^2} T(x, t)$$

$$\frac{\partial}{\partial t} T(x, t) \rightarrow \frac{T_i^{n+1} - T_i^n}{\tau}$$

$$\frac{\partial^2}{\partial x^2} T(x, t) \rightarrow \frac{T_{i+1}^n + T_{i-1}^n - 2T_i^n}{h^2}$$

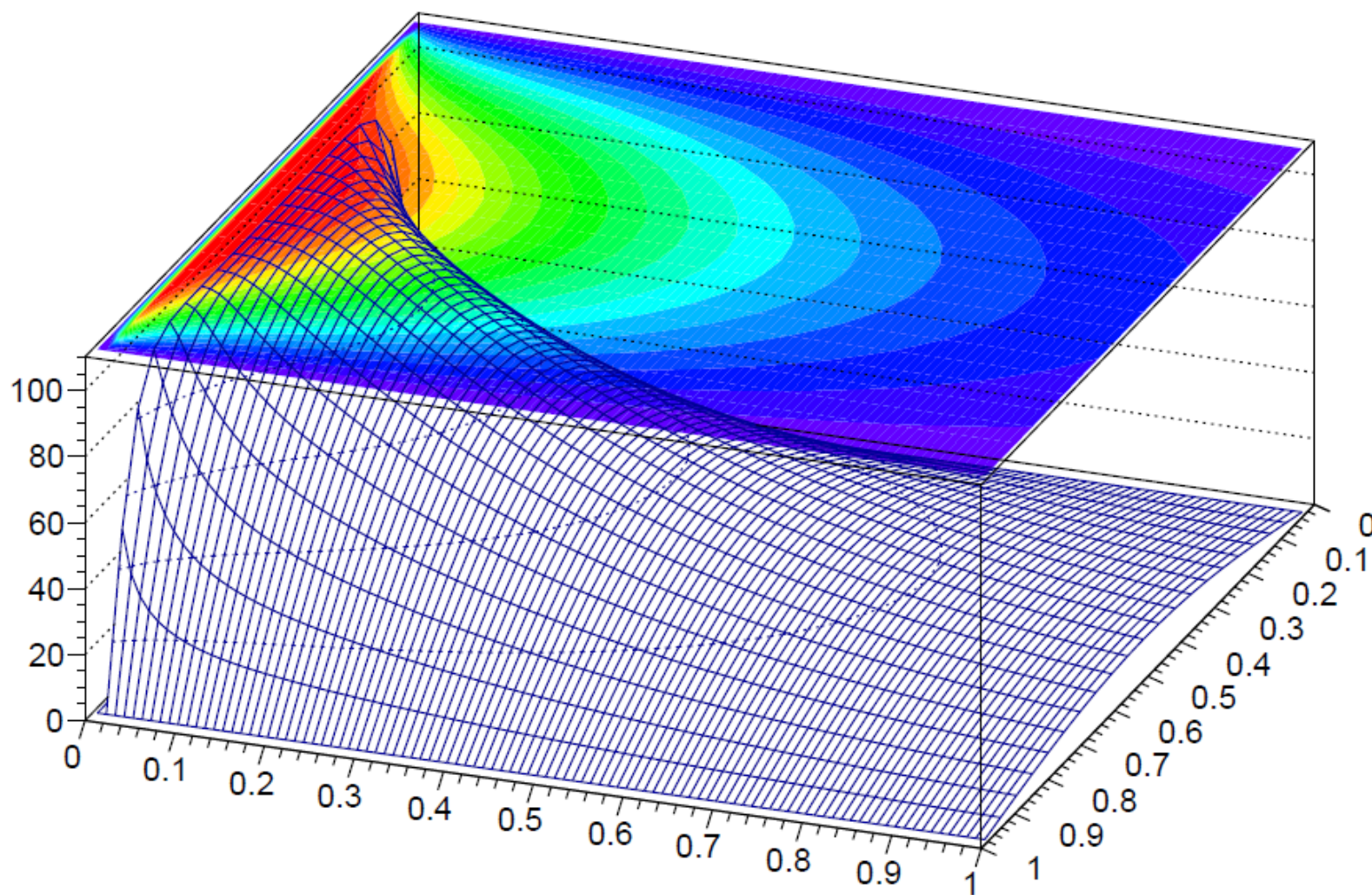


$$T_i^{n+1} = T_i^n + \frac{\kappa \tau}{h^2} (T_{i+1}^n + T_{i-1}^n - 2T_i^n)$$

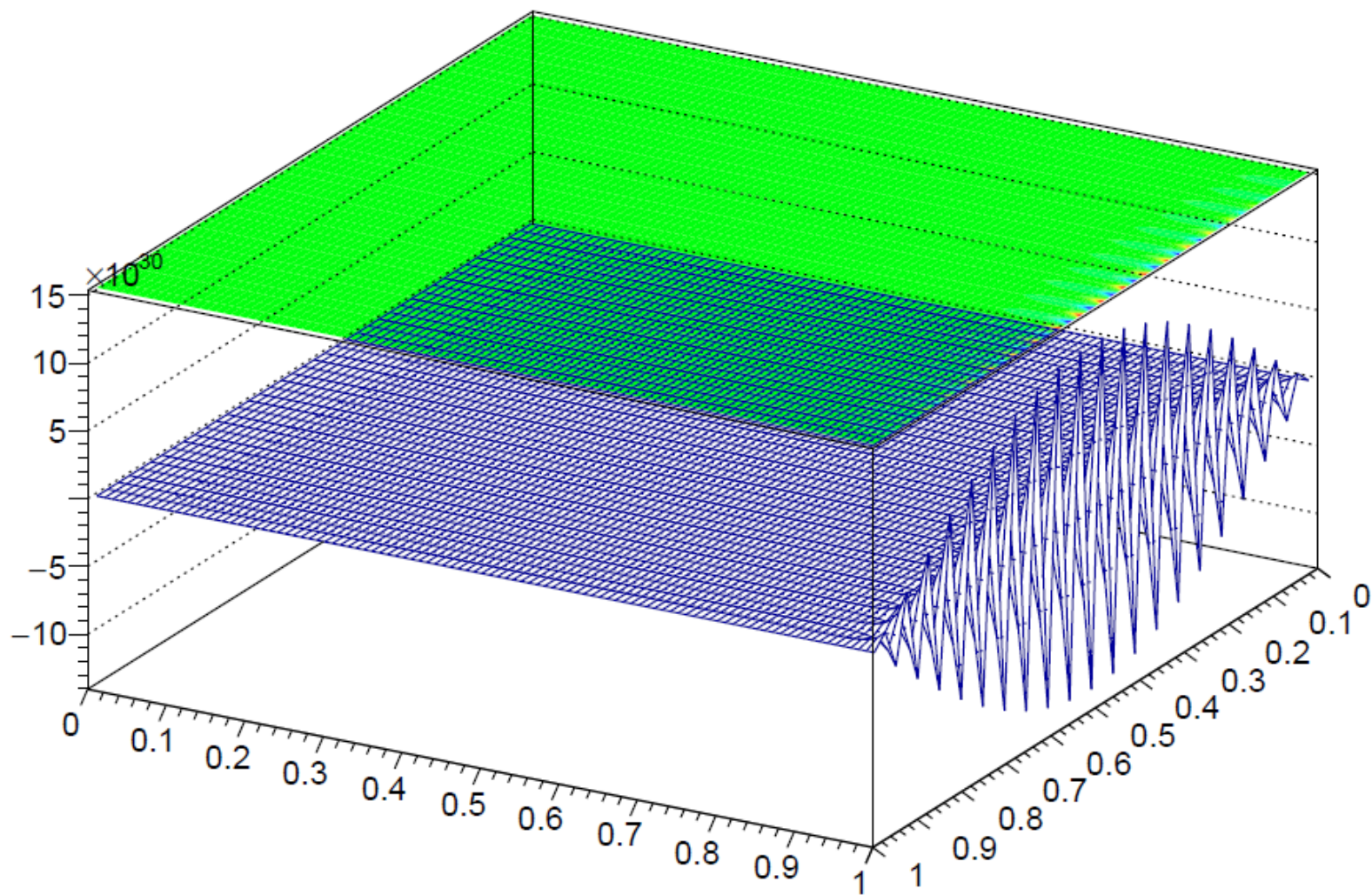
Forward Time Centered Space

```
#include <stdio.h>
#include <stdlib.h>
#include <math.h>
#include <TH1F.h>

void ftcs(double h, double dt)
{
    const int nx=1./h+1;
    TH2F *his=new TH2F("his"," ",nx, 0., 1.,100,0.,1.);
    double T[nx], T_new[nx];
    double time=0; int nt=10./dt;
    double k=0.5;
    double ksi=k*dt/(h*h);
    cout <<ksi<<endl;
    for(int i=0; i<nx; i++)T[i] = 100.;           // initial condition
    T[0]=0.; T[nx-1]=0.;                          // boundary conditions
    for(int it=1;it<nt;it++)
    {
        for(int i=1; i<nx;i++) T_new[i]=T[i]+ksi*(T[i+1]+T[i-1]-2*T[i]);
        for(int i=1; i<nx;i++) T[i]=T_new[i];
        if(it%10==0){
            for(int i=0;i<nx;i++)his->SetBinContent(i+1,it/10+1,T[i]); }
    }
    his->Draw("surf3");
}
```



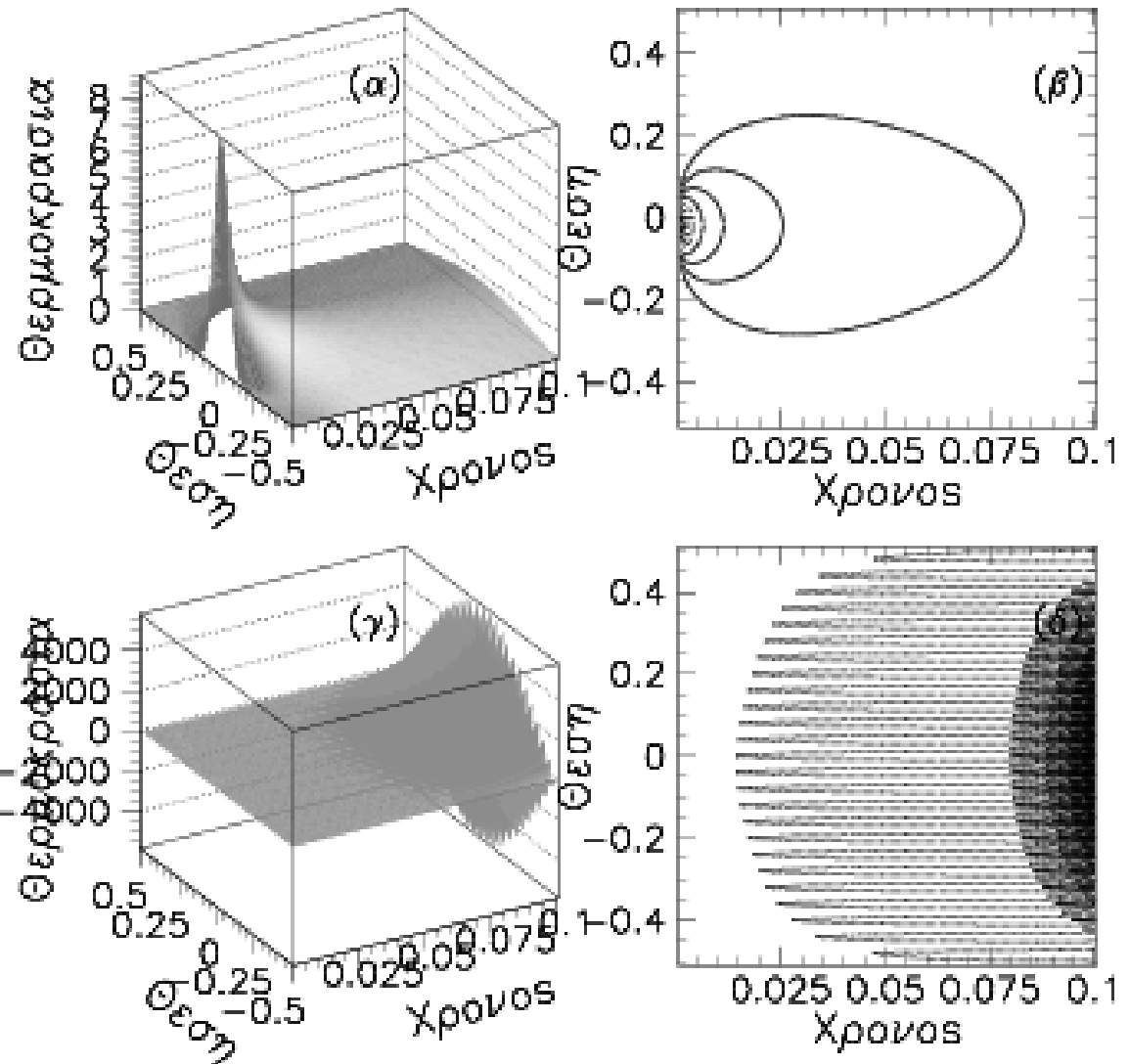
$K_{si} < 0.5$



$K_{si}=0.52$

Θερμική διάχυση με
αρχική συνθήκη
συνάρτηση δ και άκρα σε
μηδενική θερμοκρασία

$$\tau > h^2/2\kappa$$



Θεωρούμε λύσεις της διαφορικής εξίσωσης της μορφής:

$$u_j^n = \xi^n e^{ikjh}$$

Όπου $\xi = \xi(k)$ είναι ένας μιγαδικός αριθμός που εξαρτάται από το k .

Έτσι η χρονική εξάρτηση είναι
διαδοχικές
ακέραιες δυνάμεις του μιγαδικού
αριθμού ξ .



Ευστάθεια :
 $|\xi(k)| \leq 1$
για κάθε k

Αντικαθιστώντας στην εξίσωση διαφορών FTCS, έχουμε:

$$\xi(k) = 1 + \frac{\kappa \tau^2}{h} (\cos kh - 2)$$

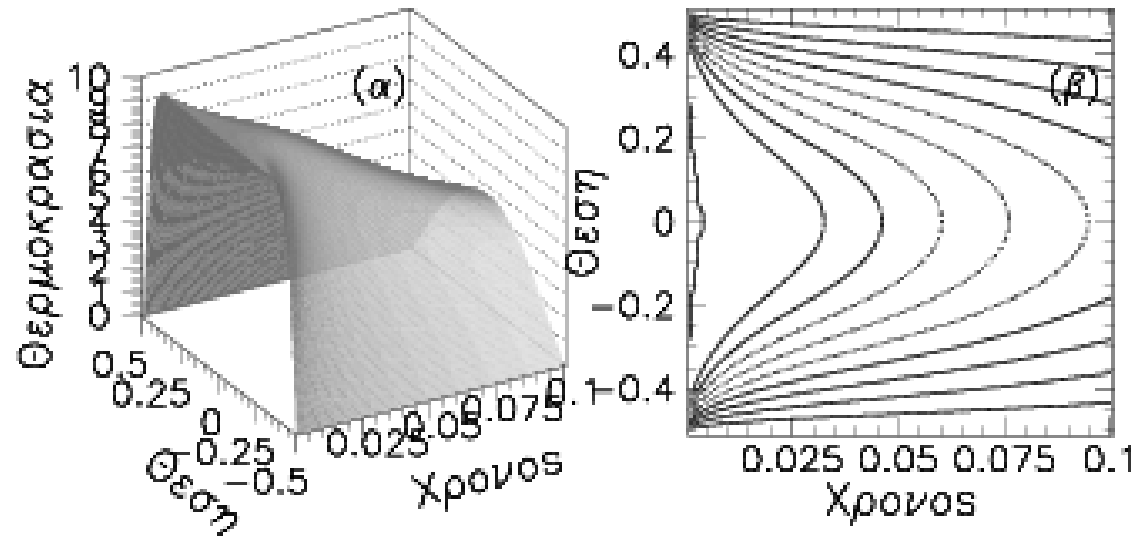


$$\tau \leq h^2 / 2\kappa$$

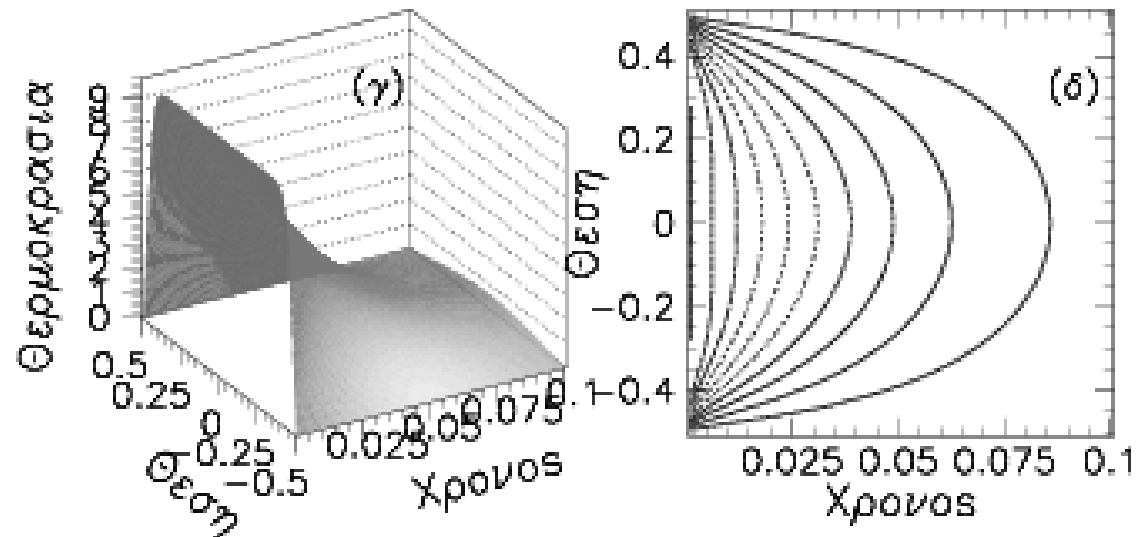

```
#include <stdio.h>
#include <stdlib.h>
#include <math.h>
#include <TH1F.h>

void ftcs(double h, double dt)
{
    const int nx=1./h+1;
    TH2F *his=new TH2F("his"," ",nx, 0., 1.,100,0.,1.);
    double T[nx], T_new[nx];
    double time=0; int nt=10./dt;
    double k=1.;
    double ksi=k*dt/(h*h);
    cout <<ksi<<endl;
    for(int i=0; i<nx; i++)T[i] = 100.;           // initial condition
    T[0]=0.; T[nx-1]=0.;                         // boundary conditions
    for(int it=1;it<nt;it++)
    {
        // Radiation on top of heat flow
        for(int i=1; i<nx;i++) T_new[i]=T[i]+ksi*(T[i+1]+T[i-1]-2*T[i]) -a*pow(T[i],4);
        for(int i=1; i<nx;i++)T[i]=T_new[i];
        if(it%10==0){
            for(int i=0;i<nx;i++)his->SetBinContent(i+1,it/10+1,T[i]); }
    }
    his->Draw("surf3");
}
```

Θερμική διάχυση
ομοιόμορφη αρχική
θερμοκρασία
άκρα σε μηδενική
θερμοκρασία



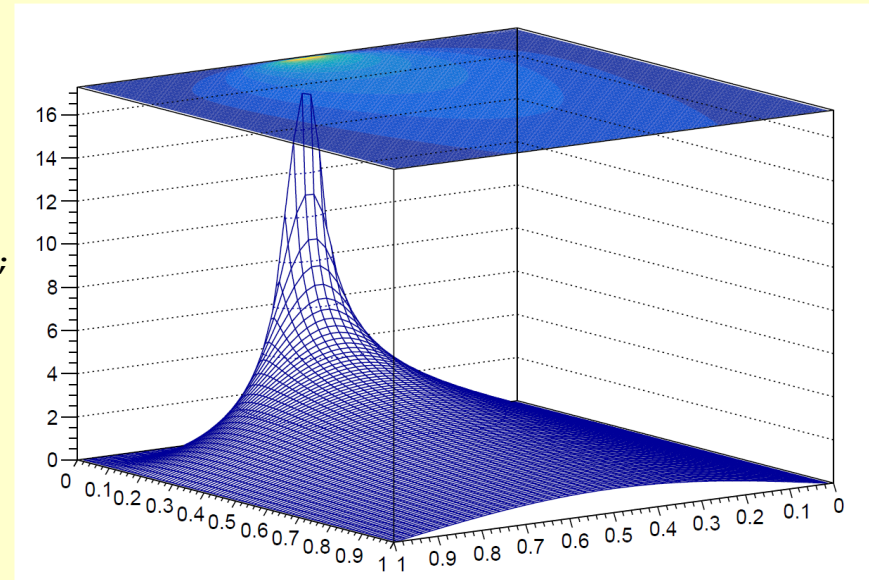
Θερμική διάχυση και
ακτινοβολία ομοιόμορφη
αρχική θερμοκρασία
άκρα σε μηδενική
θερμοκρασία



Θερμική διάχυση: Τροποποιημένη Μέθοδος FTCS

```
#include <stdio.h>
#include <stdlib.h>
#include <math.h>
#include <TH1F.h>

void ftcs_m(double h, double dt)
{
    const int nx=1./h+1;
    TH2F *his=new TH2F("his"," ",nx, 0., 1.,100,0.,1.);
    double T[nx];
    double time=0.; int nt=10./dt;
    double k=1.;
    double ksi=k*dt/(h*h);
    cout <<ksi<<endl;
    // initial condition
    for(int i=0; i<nx; i++)T[i] = 0.;
    T[(nx-1)/2]=100.;
    // boundary conditions
    T[0]=0.; T[nx-1]=0.;
    for(int it=1;it<nt;it++)
    { time+=dt;
        for(int i=1; i<nx-1;i++) T[i]=T[i]+ksi*(T[i+1]+T[i-1]-2*T[i]);
        if(it%10==0){
            for(int i=0;i<nx;i++)his->SetBinContent(i+1,it/10+1,T[i]); }
    }
    his->Draw("surf3");
}
```



Αλλάζει η απαίτηση;

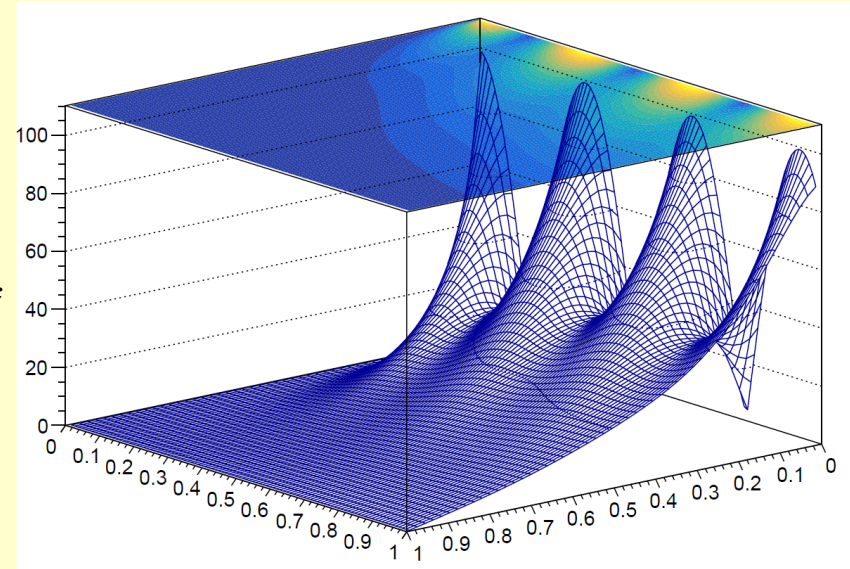
$$\tau \leq h^2/2\kappa$$

Θερμική διάχυση: Χρονο-εξαρτώμενες συνοριακές συνθήκες

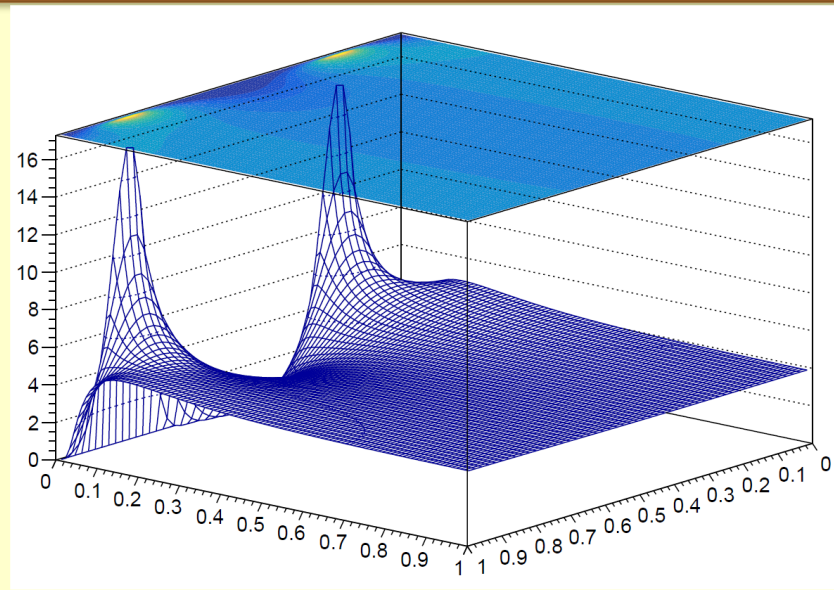
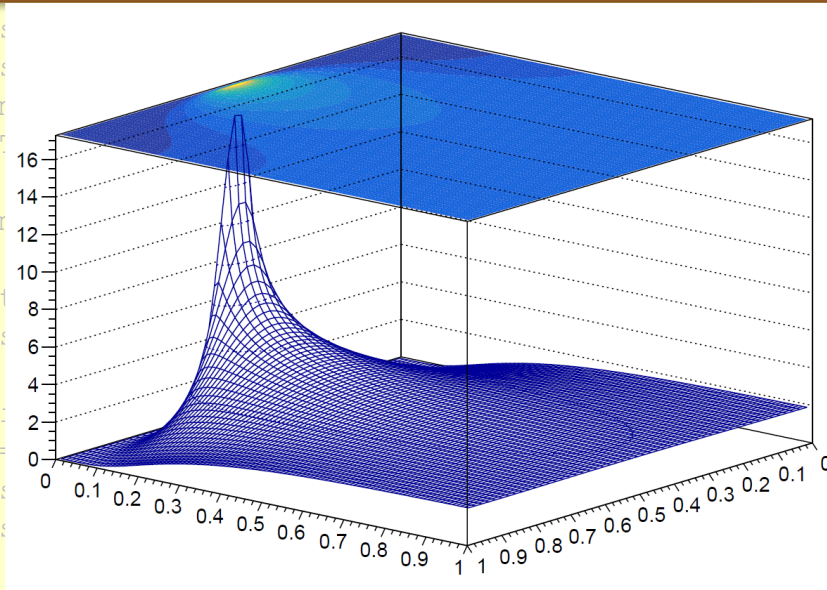
```
#include <stdio.h>
#include <stdlib.h>
#include <math.h>
#include <TH1F.h>

void ftcs_m(double h, double dt)
{
    const int nx=1./h+1;
    TH2F *his=new TH2F("his"," ",nx, 0., 1.,100,0.,1.);
    double T[nx];
    double time=0.; int nt=10./dt;
    double k=1.;
    double ksi=k*dt/(h*h);
    cout <<ksi<<endl;
    // initial condition
    for(int i=0; i<nx; i++)T[i] = 0.;
    // boundary conditions
    T[0]=100.*abs(cos(100*time)); T[nx-1]=0.;
    for(int it=1;it<nt;it++)
    {
        time+=dt;
        T[0]=100.*abs(cos(100*time));
        for(int i=1; i<nx-1;i++) T[i]=T[i]+ksi*(T[i+1]+T[i-1]-2*T[i]);

        if(it%10==0){
            for(int i=0;i<nx;i++)his->SetBinContent(i+1,it/10+1,T[i]); }
    }
    his->Draw("surf3");
}
```

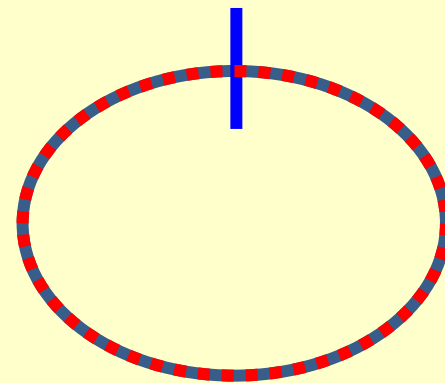


Θερμική διάχυση: Περιοδικές συνοριακές συνθήκες



```
// initial condition
for(int i=0; i<nx; i++)T[i] = 0.;
T[10]=100.; T[nx-10]=100.;
for(int it=1;it<nt;it++)
{
    time+=dt;
    // periodic boundary conditions
    T[0]=T[0]+ksi*(T[1]+T[nx-1]-2*T[0]);
    T[nx-1]=T[nx-1]+ksi*(T[0]+T[nx-2]-2*T[nx-1]);
    for(int i=1; i<nx-1;i++) T[i]=T[i]+ksi*(T[i+1]+T[i-1]-2*T[i]);

    if(it%10==0){
        for(int i=0;i<nx;i++)his->SetBinContent(i+1,it/10+1,T[i]); }
}
his->Draw("surf3");
}
```



Έστω για $x=0$

$$\frac{\partial u}{\partial x} = \alpha(t)u + g(t), \quad \alpha(t) \geq 0.$$

$$\frac{U_1^n - U_0^n}{\Delta x} = \alpha^n U_0^n + g^n$$

$$U_0^n = \beta^n U_1^n - \beta^n g^n \Delta x,$$

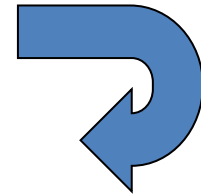
$$\beta^n = \frac{1}{1 + \alpha^n \Delta x}.$$

Κυματική εξίσωση

$$\frac{\partial^2}{\partial t^2} A(x, t) = v^2 \frac{\partial^2}{\partial x^2} A(x, t)$$

Με τους μετασχηματισμούς

$$r \equiv v \frac{\partial A}{\partial x} \quad s \equiv \frac{\partial A}{\partial t}$$



$$\frac{\partial r}{\partial t} = v \frac{\partial s}{\partial x}$$

$$\frac{\partial s}{\partial t} = v \frac{\partial r}{\partial x}$$

Που σε διανυσματική γραφή

$$\frac{\partial \vec{A}}{\partial t} = - \frac{\partial \vec{F}(\vec{A})}{\partial x} \quad \text{με} \quad \vec{F}(\vec{A}) = \begin{pmatrix} 0 & -v \\ -v & 0 \end{pmatrix} \cdot \vec{A} \quad \frac{\partial a}{\partial t} = -v \frac{\partial a}{\partial x}$$

Εξίσωση συνέχειας

$$\frac{\partial a}{\partial t} = -v \frac{\partial a}{\partial x}$$

Μέθοδος FTCS:

$$a_i^{n+1} = a_i^n - \frac{v\tau}{2h} (a_{i+1}^n - a_{i-1}^n)$$

Αλλά στην
περίπτωση αυτή:

$$\xi(k) = 1 - i \frac{v\tau}{h} \sin kh$$

Επομένως η μέθοδος FTCS είναι **ασταθής**
ως προς την επίλυση της κυματικής εξίσωσης
ανεξαρτήτως συνθηκών

$$a_i^{n+1} = a_i^n - \frac{v\tau}{2h}(a_{i+1}^n - a_{i-1}^n)$$



$$a_i^{n+1} = \frac{1}{2}(a_{i+1}^n + a_{i-1}^n) - \frac{v\tau}{2h}(a_{i+1}^n - a_{i-1}^n)$$

Μέθοδος Lax

$$a_i^n \rightarrow \frac{1}{2}(a_{i+1}^n - a_{i-1}^n)$$

Στη μέθοδο Lax:

$$\xi(k) = \cos kh - i \frac{v\tau}{h} \sin kh$$



Συνθήκη Ευστάθειας:

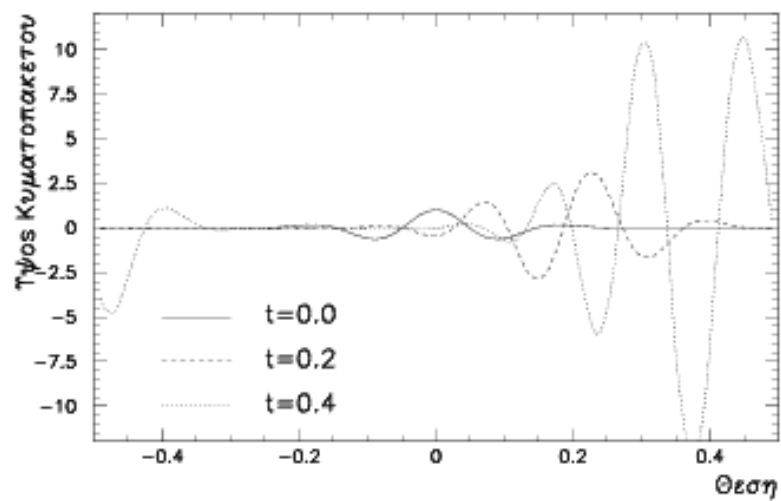
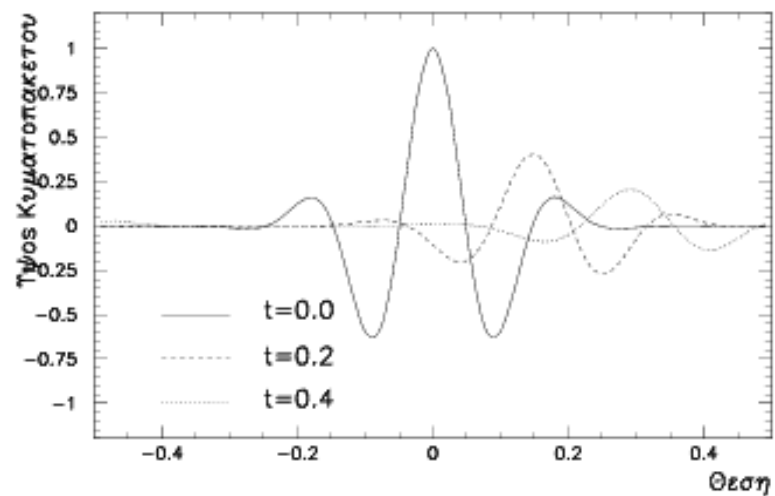
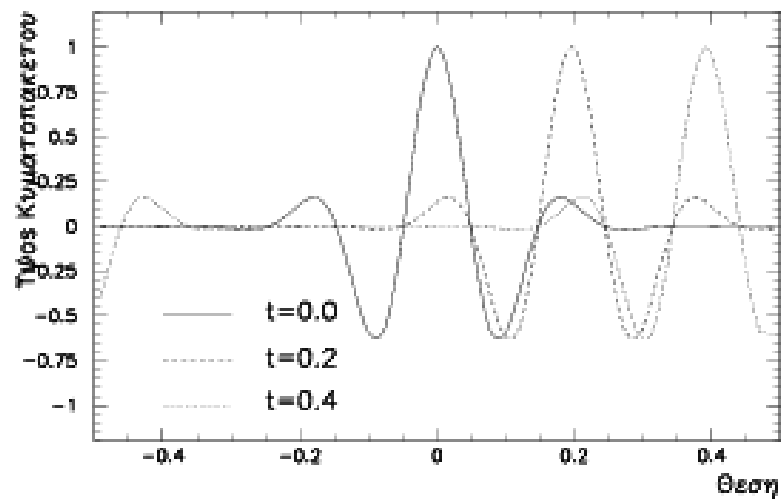
$$\frac{|v|\tau}{h} \leq 1$$

Όμως για τα μικρότερα από την ισότητα στη συνθήκη ευστάθειας έχουμε μείωση του κύματος, χωρίς φυσική αιτία !

Ποιο είναι το κέρδος λοιπόν αν δεν χρησιμοποιήσουμε $\tau = h/v$;

Έχοντας λύση ευσταθή, αν και αφύσικα φθίνουσα, μπορούμε να μελετήσουμε όλα τα λοιπά ποιοτικά χαρακτηριστικά του προβλήματος με εξαίρεση το μέγεθος του πλάτους της ταλάντωσης

Η κυματική εξίσωση: Μέθοδος Lax



Θεραπεία: Μέθοδος ανώτερης τάξης

$$\frac{\partial a}{\partial t} = -v \frac{\partial a}{\partial x} \quad \Rightarrow \quad a_j^{n+1} - a_j^{n-1} = -\frac{v\tau}{h} (a_{j+1}^n - a_{j-1}^n)$$

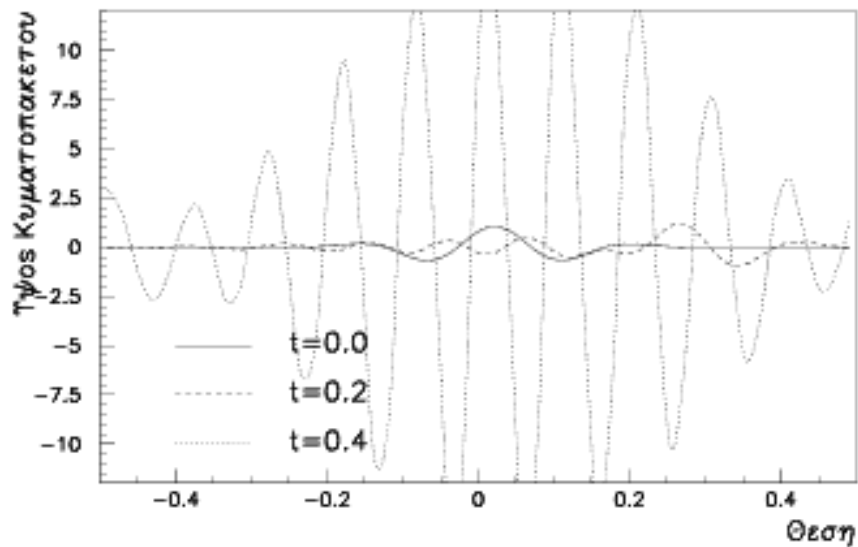
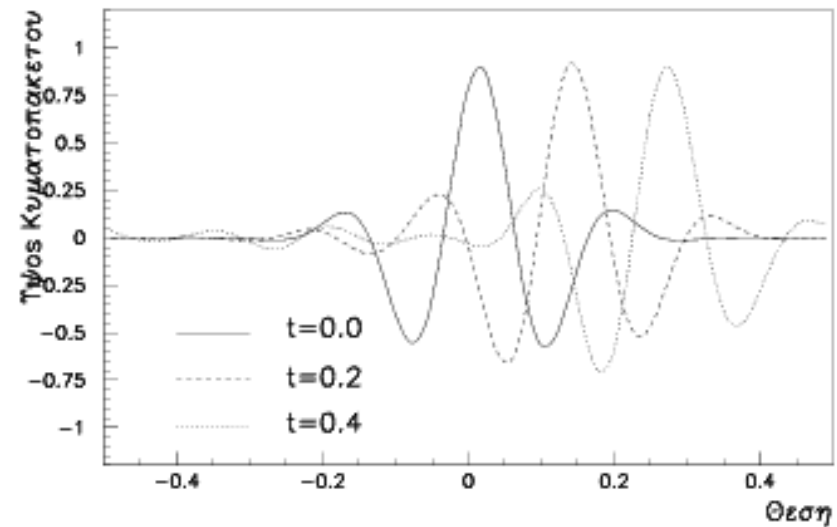
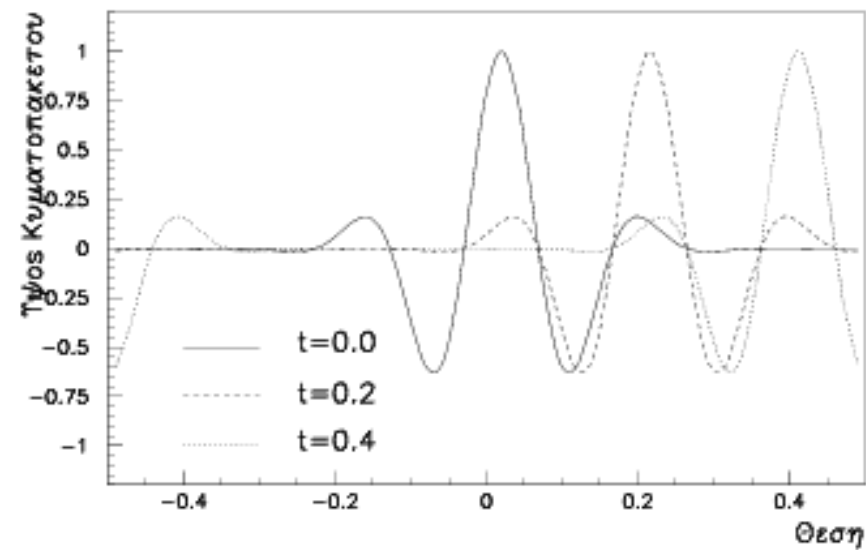
$$\xi^2 - 1 = -2i\xi \frac{v\tau}{h} \sin kh$$

Και τελικά η **κυματική εξίσωση** γράφεται:

$$\frac{A_j^{n+1} - 2A_j^n + A_j^{n-1}}{\tau^2} = v^2 \frac{A_{j+1}^n - 2A_j^n + A_{j-1}^n}{h^2}$$

Πολύ-βηματική μέθοδος

Η κυματική εξίσωση: Μέθοδος Staggered Leapfrog



```

      COEF = -V*DT/DX ! The coefficient used in leapfrog scheme
* Set Initial and Boundary conditions
      SIGMA = 0.1          ! Width of gaussian pulse
      KWAVE = PI/SIGMA     ! Wave number
      DO I = 1, NX
        X(I) = (-LX/2.)+(I-1)*DX ! x-coordinates
* Initial state of a gaussian cosine pulse
        A_OLD(I) = DCOS(KWAVE*X(I))*DEXP(-0.5*X(I)**2/SIGMA**2)
        TIME = 0.
      ENDDO
* First time step (Two time steps needed in leapfrog method)
      DO I =2, NX-1
        A(I) = 0.5*(A_OLD(I+1)+A_OLD(I-1))
&          + 0.5*COEF*(A_OLD(I+1)-A_OLD(I-1))
      ENDDO
      A(1) = 0.5*(A_OLD(2)+A_OLD(NX))
&          + 0.5*COEF*(A_OLD(2)-A_OLD(NX))
      A(NX) = 0.5*(A_OLD(1)+A_OLD(NX-1))
&          + 0.5*COEF*(A_OLD(1)-A_OLD(NX-1))
      DO 100 IT = 1, NSTEP
* Periodic boundary conditions
        A_NEW(1)=A_OLD(1)+COEF*(A(2)-A(NX))
* Use staggered Leapfrog relation
        DO 10 I = 2, NX-1
          A_NEW(I)=A_OLD(I)+COEF*(A(I+1)-A(I-1))
10      CONTINUE
        A_NEW(NX)=A_OLD(NX)+COEF*(A(1)-A(NX-1))

```

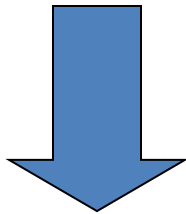
Πρόβλημα

- Συνήθως ενδιαφερόμαστε να μελετήσουμε με ακρίβεια χαρακτηριστικά, με χωρικές κλίμακες $\lambda \gg h$.
- Σ' αυτήν την περίπτωση και με δεδομένη τη συνθήκη ευστάθειας, θα πρέπει να περιμένουμε χρονικά βήματα της τάξης του λ^2/h^2 πριν μπούμε στην περιοχή ενδιαφέροντος.
- Συνήθως τέτοιος αριθμός βημάτων είναι στην πράξη απαγορευτικός.

Λύση

Χρήση ευσταθών μεθόδων: Έμμεσες μέθοδοι

$$\frac{\partial}{\partial t} T(x, t) = \kappa \frac{\partial^2}{\partial x^2} T(x, t)$$



$$\frac{T_j^{n+1} - T_j^n}{\tau} = \kappa \frac{T_{j+1}^{n+1} + T_{j-1}^{n+1} - 2T_j^{n+1}}{h^2}$$

Χωρικές παράγωγοι
Υπολογίζονται στο
Βήμα n+1

Η αναδρομική σχέση δεν μπορεί να επιλυθεί άμεσα για να υπολογιστούν οι τιμές πλέγματος του επόμενου βήματος.
Πρέπει να επιλυθεί ένα σύστημα γραμμικών εξισώσεων σε κάθε χρονικό βήμα.

Οπότε καταλήγουμε σε ένα τριδιαγώνιο γραμμικό σύστημα

$1+2\kappa\tau/h^2$	$-\kappa\tau/h^2$	0	0	$\mathbf{T}^{n+1} = \mathbf{T}^n +$	bound
$-\kappa\tau/h^2$	$1+2\kappa\tau/h^2$	$-\kappa\tau/h^2$	0	...	0		
0	$-\kappa\tau/h^2$	$1+2\kappa\tau/h^2$	$-\kappa\tau/h^2$...	0		
...		
0	$-\kappa\tau/h^2$	$1+2\kappa\tau/h^2$		

Αν το σύστημα είναι σχετικά μικρό ≤ 100 η επίλυση θα μπορούσε να γίνει με άμεση μέθοδο. Στην περίπτωση που το πλέγμα της ΜΔΕ είναι μεγαλύτερο προτείνεται η λύση με επαναληπτική μέθοδο.

```

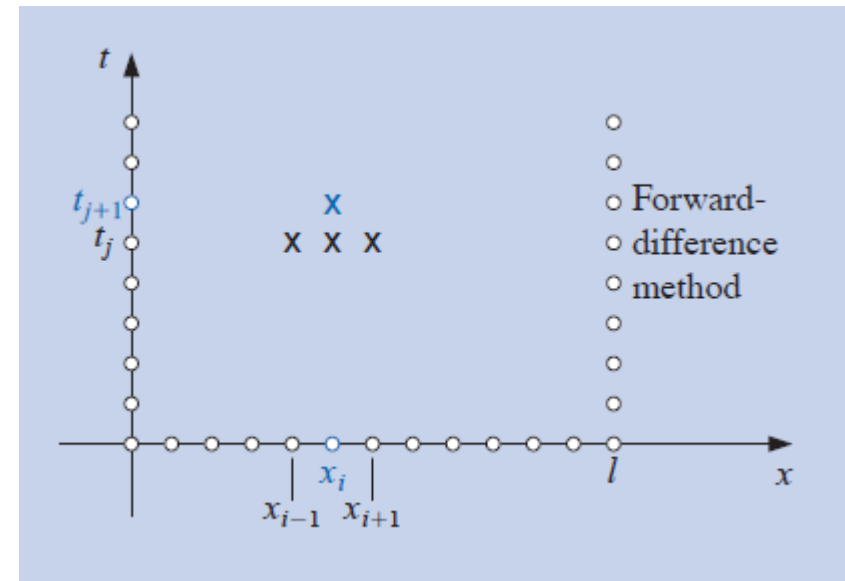
DO 100 IT = 1, NSTEP
  DO 10 I = 2, NX
* form the linear tridiagonal system according to the equation
*    $T\_NEW(I) + 2 * KSI * T\_NEW(I) - KSI * T\_NEW(I+1) - KSI * T\_NEW(I-1) = T(I)$ 
    J=I-1
    A(J,J)=(1.+2.*KSI)
    A(J,NX)=T(I) ! value from previous step
    IF(J.NE.1) THEN
      A(J,J-1)=-1.*KSI
    ELSE      ! boundary 1
      A(J,NX) = A(J,NX)+KSI*0.
    ENDIF
    IF(J.NE.NX-1) THEN
      A(J,J+1)=-1.*KSI
    ELSE      ! boundary 2
      A(J,NX) = A(J,NX)+KSI*0.
    ENDIF
  10    CONTINUE
* Solve the system
    CALL SYSTEM(NX-1,A,T_NEW)
* Set the new values of temperature
    DO 20 I = 2, NX
      T(I)=T_NEW(I-1)
  20    CONTINUE
    TIME=IT*DT
  100  CONTINUE

```


Άμεση μέθοδος

$$\frac{w_{i,j+1} - w_{i,j}}{k} - \alpha^2 \frac{w_{i+1,j} - 2w_{i,j} + w_{i-1,j}}{h^2} = 0,$$

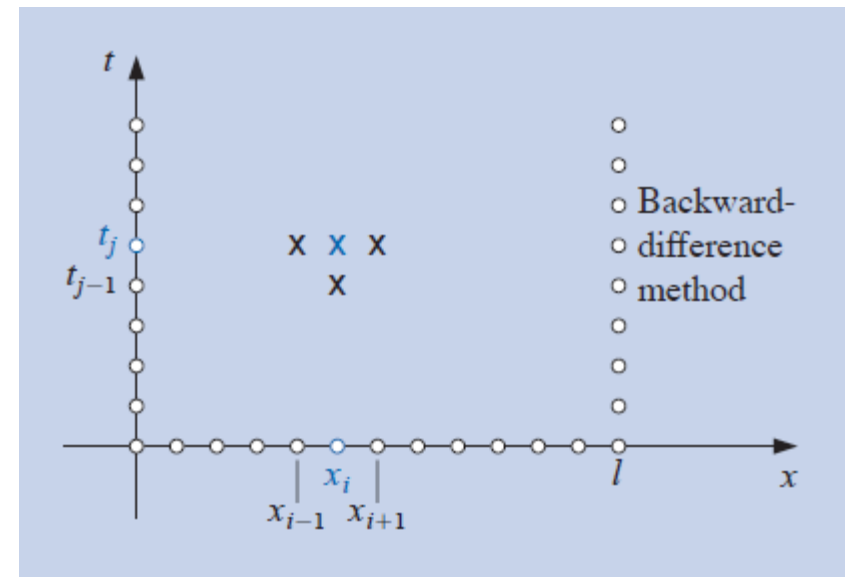
$$\tau_F = \frac{k}{2} \frac{\partial^2 u}{\partial t^2}(x_i, \mu_j) + O(h^2),$$



Έμμεση μέθοδος

$$\frac{w_{i,j+1} - w_{i,j}}{k} - \alpha^2 \frac{w_{i+1,j+1} - 2w_{i,j+1} + w_{i-1,j+1}}{h^2} = 0,$$

$$\tau_B = -\frac{k}{2} \frac{\partial^2 u}{\partial t^2}(x_i, \hat{u}_j) + O(h^2).$$



Και οι δύο έχουν ακρίβεια 1^{ης} τάξης ως προς το χρόνο

$$\frac{w_{i,j+1} - w_{i,j}}{k} - \alpha^2 \frac{w_{i+1,j} - 2w_{i,j} + w_{i-1,j}}{h^2} = 0,$$

$$\frac{w_{i,j+1} - w_{i,j}}{k} - \alpha^2 \frac{w_{i+1,j+1} - 2w_{i,j+1} + w_{i-1,j+1}}{h^2} = 0,$$



$$\tau_F = \frac{k}{2} \frac{\partial^2 u}{\partial t^2}(x_i, \mu_j) + O(h^2), \quad \tau_B = -\frac{k}{2} \frac{\partial^2 u}{\partial t^2}(x_i, \hat{u}_j) + O(h^2).$$

Μέθοδος Crank-Nicolson που έχει ακρίβεια 2^{ης} τάξης ως προς το χρόνο

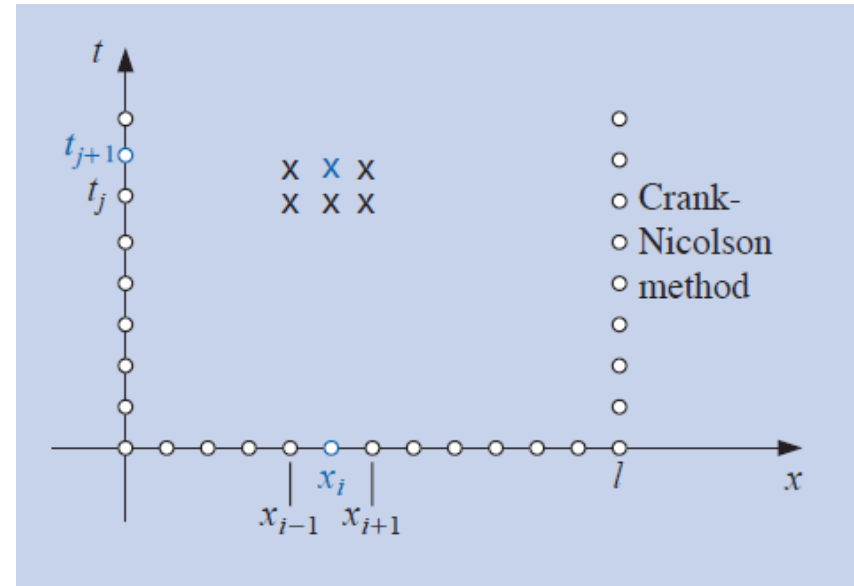
$$\frac{w_{i,j+1} - w_{i,j}}{k} - \frac{\alpha^2}{2} \left[\frac{w_{i+1,j} - 2w_{i,j} + w_{i-1,j}}{h^2} + \frac{w_{i+1,j+1} - 2w_{i,j+1} + w_{i-1,j+1}}{h^2} \right] = 0,$$

$$T_j^{n+1} - \frac{\kappa\tau}{2h^2} (T_{j+1}^{n+1} + T_{j-1}^{n+1} - 2T_j^{n+1}) = T_j^n + \frac{\kappa\tau}{2h^2} (T_{j+1}^n + T_{j-1}^n - 2T_j^n)$$

$$\mathbf{A}\mathbf{T}^{n+1} = \mathbf{B}\mathbf{T}^n \quad \lambda = \frac{\kappa\tau}{h^2}$$

$$\mathbf{A} = \begin{bmatrix} (1+\lambda) & -\frac{\lambda}{2} & 0 & \dots & 0 \\ -\frac{\lambda}{2} & \ddots & \ddots & \ddots & 0 \\ 0 & \ddots & \ddots & \ddots & -\frac{\lambda}{2} \\ \vdots & \vdots & \vdots & \vdots & \vdots \\ 0 & \dots & 0 & -\frac{\lambda}{2} & (1+\lambda) \end{bmatrix}$$

$$\mathbf{B} = \begin{bmatrix} (1-\lambda) & \frac{\lambda}{2} & 0 & \dots & 0 \\ \frac{\lambda}{2} & \ddots & \ddots & \ddots & 0 \\ 0 & \ddots & \ddots & \ddots & \frac{\lambda}{2} \\ \vdots & \vdots & \vdots & \vdots & \vdots \\ 0 & \dots & 0 & \frac{\lambda}{2} & (1-\lambda) \end{bmatrix}.$$



$$\xi = \frac{1 - \frac{\kappa\tau}{h^2} \sin^2(kh/2)}{1 + \frac{\kappa\tau}{h^2} \sin^2(kh/2)}$$

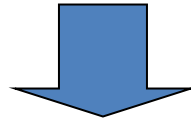
Ευσταθής χωρίς όρους

$$i \frac{\partial \psi}{\partial t} = -\frac{\partial^2 \psi}{\partial x^2} + V(x)\psi$$

Αρχική συνθήκη $\psi(x, t=0) = f(x)$

Συνοριακή συνθήκη $\psi(\pm\infty, t) = 0$

Ακρίβεια 1ης τάξης ως προς το χρόνο
Έμμεσο σχήμα για ευστάθεια



$$i \left(\frac{\psi_j^{n+1} - \psi_j^n}{\Delta t} \right) = - \left(\frac{\psi_{j+1}^{n+1} + \psi_{j-1}^{n+1} - 2\psi_j^{n+1}}{(\Delta x)^2} \right) + V_j \psi_j^{n+1}$$

$$i \left(\frac{\psi_j^{n+1} - \psi_j^n}{\Delta t} \right) = - \left(\frac{\psi_{j+1}^{n+1} + \psi_{j-1}^{n+1} - 2\psi_j^{n+1}}{(\Delta x)^2} \right) + V_j \psi_j^{n+1}$$

Πρόβλημα

Η λύση πρέπει να είναι μοναδιαία:

$$\int_{-\infty}^{\infty} |\psi|^2 dx = 1$$

Η αριθμητική λύση όμως δεν είναι!

Ας εκφράσουμε την εξίσωση με τη μορφή

$$i \frac{\partial \psi}{\partial t} = H \psi \quad H = -\frac{\partial^2}{\partial x^2} + V(x) \quad \longrightarrow \quad \psi(x, t) = \exp(-iHt) \psi(x, 0)$$

FTCS: $\psi_j^{n+1} = (1 - iH\Delta t) \psi_j^n$

$$\psi_j^{n+1} = \psi_j^n + i\Delta t \left(\frac{\psi_{j+1}^n + \psi_{j-1}^n - 2\psi_j^n}{(\Delta x)^2} \right) - i\Delta t V_j \psi_j^n$$

Έμμεσο: $\psi_j^{n+1} = (1 + iH\Delta t)^{-1} \psi_j^n$

$$\psi_j^n = \psi_j^{n+1} - i\Delta t \left(\frac{\psi_{j+1}^{n+1} + \psi_{j-1}^{n+1} - 2\psi_j^{n+1}}{(\Delta x)^2} \right) + i\Delta t V_j \psi_j^{n+1}$$

$$\psi(x, t) = \exp(-iHt)\psi(x, 0)$$

Πιο σωστή προσέγγιση για το εκθετικό είναι:

$$\exp(-iHt) \approx \frac{1 - \frac{1}{2}iH\Delta t}{1 + \frac{1}{2}iH\Delta t} \quad \Rightarrow \quad \left(1 + \frac{1}{2}iH\Delta t\right)\psi_j^{n+1} = \left(1 - \frac{1}{2}iH\Delta t\right)\psi_j^n$$

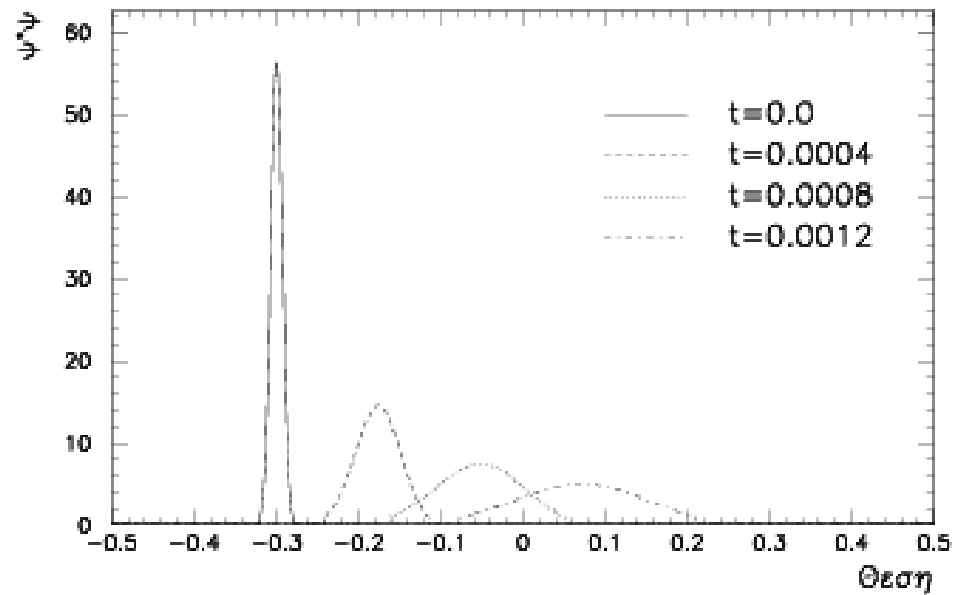
και είναι η μέθοδος Crank-Nicolson

Που είναι ακριβής σε 2η τάξη ως προς το χρόνο
και μοναδιαία

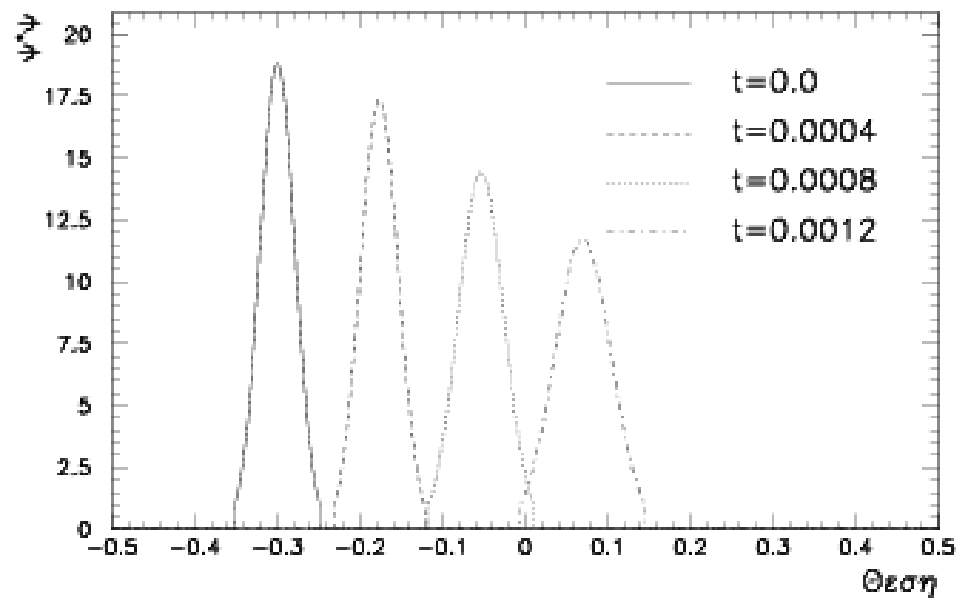
και οδηγεί στην εξίσωση διαφορών

$$\psi_{j+1}^{n+1} + \psi_{j-1}^{n+1} + (2i\lambda - 2h^2V_j - 2)\psi_j^{n+1} =$$

$$- \psi_{j+1}^n + \psi_{j-1}^n + (2i\lambda - 2h^2V_j - 2)\psi_j^n \quad \text{όπου } \lambda = 2h^2/\tau$$

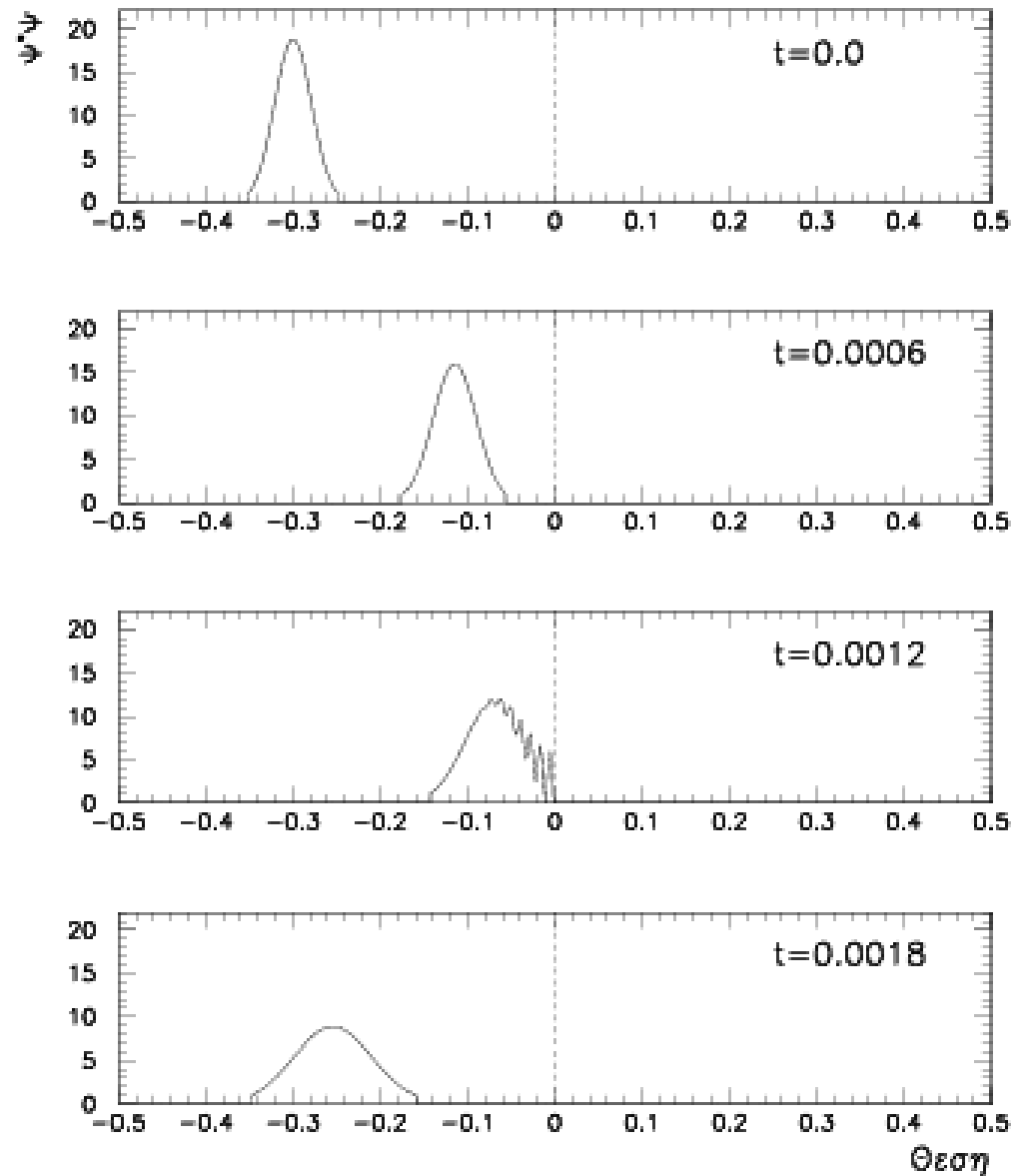


Πολύ εστιασμένο
κυματοπακέτο

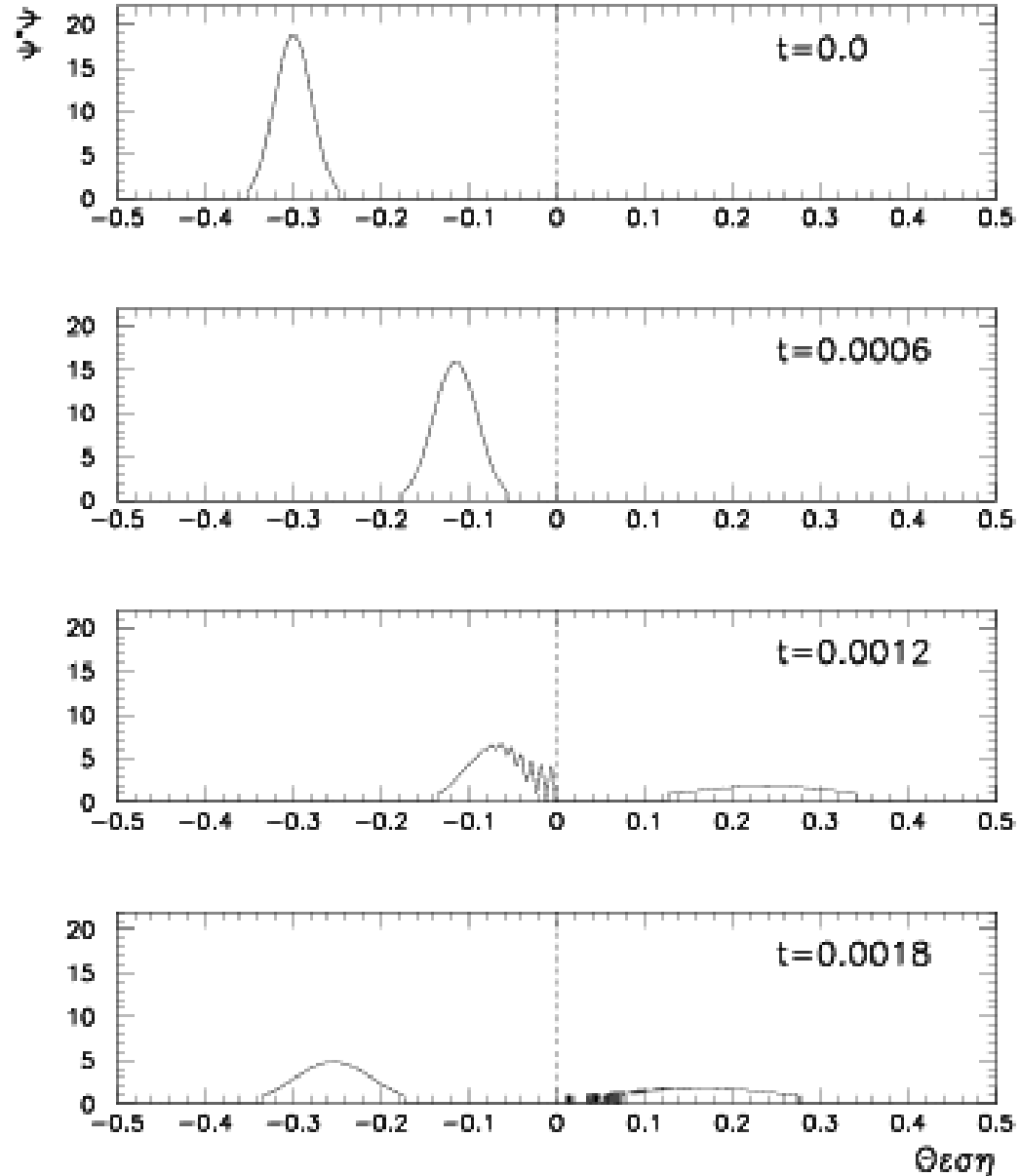


Λίγο εστιασμένο
κυματοπακέτο

Παράδειγμα σκέδασης
σε πολύ υψηλό θετικό
δυναμικό



Παράδειγμα σκέδασης
σε χαμηλό αρνητικό
δυναμικό



Τα δύο είδη ταξινόμησης των ΜΔΕ:

Σύμφωνα με την υπολογιστική αντιμετώπισή τους

Προβλήματα αρχικών τιμών

Θερμική
διάχυση

Κυματική
εξίσωση

Προβλήματα συνοριακών τιμών

$$\frac{\partial^2}{\partial x^2} \Phi(x, y) + \frac{\partial^2}{\partial y^2} \Phi(x, y) = -\frac{1}{\varepsilon} \rho(x, y)$$

Εξίσωση Poisson

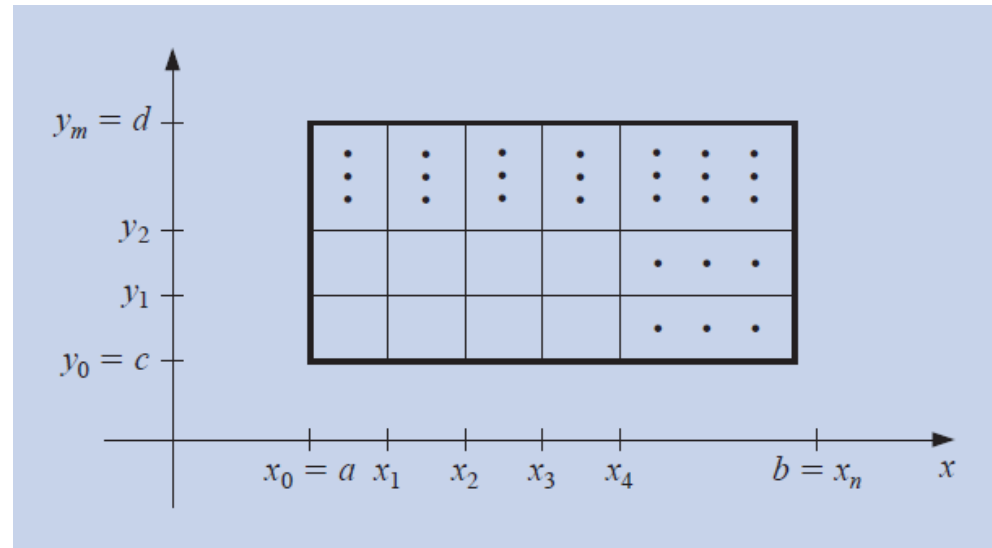
Εξίσωση Poisson

$$\frac{\partial^2}{\partial x^2} \Phi(x, y) + \frac{\partial^2}{\partial y^2} \Phi(x, y) = -\frac{1}{\varepsilon} \rho(x, y)$$

Εκφράζουμε τη συνάρτηση $\Phi(x, y)$
από τις τιμές της σε ένα
διακριτό σύνολο σημείων πλέγματος

$$x_j = x_0 + jh, \quad j = 0, 1, \dots, J$$

$$y_k = y_0 + kh, \quad k = 0, 1, \dots, K$$



όπου h είναι η απόσταση των σημείων του πλέγματος.

Αν εισάγουμε την αναπαράσταση των πεπερασμένων διαφορών
για τις δεύτερες παραγώγους έχουμε:

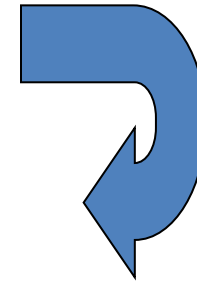
$$\frac{\Phi_{j+1,k} - 2\Phi_{j,k} + \Phi_{j-1,k}}{h^2} + \frac{\Phi_{j,k+1} - 2\Phi_{j,k} + \Phi_{j,k-1}}{h^2} = \rho_{j,k}$$

$$\Phi_{j+1,k} + \Phi_{j-1,k} + \Phi_{j,k+1} + \Phi_{j,k-1} - 4\Phi_{j,k} = h^2 \rho_{j,k}$$

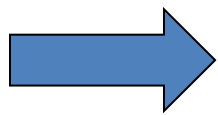
Μετατρέποντας τις δύο διαστάσεις των σημείων του πλέγματος σε μια μονοδιάστατη σειρά

$$i \equiv j(K+1) + k \quad \text{για} \quad j = 0, 1, \dots, J \quad k = 0, 1, \dots, K$$

$$\Phi_{i+K+1} + \Phi_{i-K-1} + \Phi_{i+1} + \Phi_{i-1} - 4\Phi_i = h^2 \rho_i$$



Η εξίσωση αυτή ισχύει μόνο για τα σημεία που βρίσκονται στο εσωτερικό του πλέγματος. Για όλα τα υπόλοιπα σημεία που βρίσκονται στο σύνορο, είτε η Φ είτε η παράγωγός της καθορίζεται από τις συνοριακές συνθήκες



$$\mathbf{A} \cdot \Phi = \mathbf{b}$$

Σύστημα $N \times N$



Απευθείας Μέθοδοι

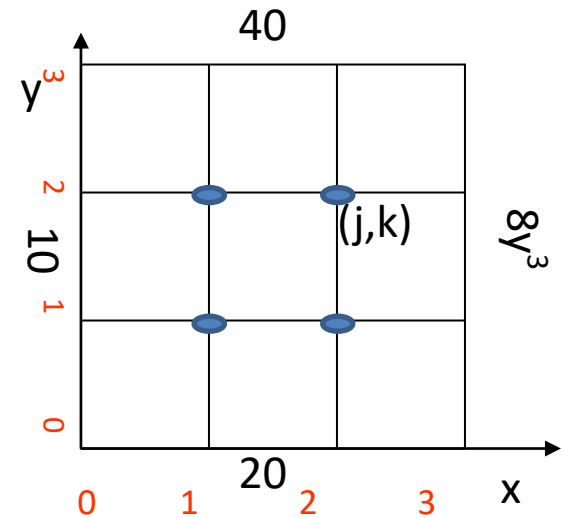
Μέθοδοι Εκτόνωσης

Μέθοδοι Φάσματος

$$\frac{\partial^2}{\partial x^2} \Phi(x, y) + \frac{\partial^2}{\partial y^2} \Phi(x, y) = 10xy$$

$$\frac{\Phi_{j+1,k} - 2\Phi_{j,k} + \Phi_{j-1,k}}{h^2} + \frac{\Phi_{j,k+1} - 2\Phi_{j,k} + \Phi_{j,k-1}}{h^2} = 10x_j y_k$$

$$\frac{1}{h^2} (\Phi_{j+1,k} + \Phi_{j-1,k} + \Phi_{j,k+1} + \Phi_{j,k-1} - 4\Phi_{j,k}) = 10x_j y_k$$



$$P_{11}: \Phi_{01} + \Phi_{10} + \Phi_{21} + \Phi_{12} - 4\Phi_{11} = 10$$

$$P_{21}: \Phi_{11} + \Phi_{20} + \Phi_{31} + \Phi_{22} - 4\Phi_{21} = 20$$

$$P_{12}: \Phi_{02} + \Phi_{11} + \Phi_{22} + \Phi_{13} - 4\Phi_{12} = 20$$

$$P_{22}: \Phi_{12} + \Phi_{21} + \Phi_{32} + \Phi_{23} - 4\Phi_{22} = 40$$

Με

$$\Phi_{01} = \Phi_{02} = 10, \Phi_{10} = \Phi_{20} = 20,$$

$$\Phi_{13} = \Phi_{23} = 40, \Phi_{31} = 8, \Phi_{32} = 64$$



$$\Phi_{21} + \Phi_{12} - 4\Phi_{11} = -20$$

$$\Phi_{11} + \Phi_{22} - 4\Phi_{21} = -8$$

$$\Phi_{11} + \Phi_{22} - 4\Phi_{12} = -30$$

$$\Phi_{12} + \Phi_{21} - 4\Phi_{22} = -64$$

Ας υποθέσουμε ότι θέλουμε να λύσουμε την ελλειπτική εξίσωση

$$Lu = \rho$$

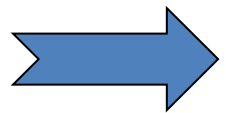
όπου L είναι ένας ελλειπτικός τελεστής και ρ οι πηγές.

Ξαναγράφουμε την εξίσωση ως:

$$\frac{\partial u}{\partial t} = Lu - \rho$$

π.χ. Laplace

$$\frac{\partial^2}{\partial x^2} \Phi(x, y) + \frac{\partial^2}{\partial y^2} \Phi(x, y) = 0$$



Διάχυση

$$\frac{\partial}{\partial t} T(x, y, t) = \kappa \left[\frac{\partial^2}{\partial x^2} T(x, y, t) + \frac{\partial^2}{\partial y^2} T(x, y, t) \right]$$



Για $t \rightarrow \infty$ Laplace

$$\frac{\partial^2}{\partial x^2} T_{\infty}(x, y) + \frac{\partial^2}{\partial y^2} T_{\infty}(x, y) = 0$$

Μέθοδος FTCS

$$\Phi_{i,j}^{n+1} = \Phi_{i,j}^n + \frac{k\tau}{h_x^2} (\Phi_{i+1,j}^n + \Phi_{i-1,j}^n - 2\Phi_{i,j}^n) + \frac{k\tau}{h_y^2} (\Phi_{i,j+1}^n + \Phi_{i,j-1}^n - 2\Phi_{i,j}^n)$$

Η ευστάθεια
απαιτεί

$$\frac{k\tau}{h_x^2} + \frac{k\tau}{h_y^2} \leq \frac{1}{2} \quad k\tau/h^2 \leq 1/4$$

Θέλουμε το μεγαλύτερο χρονικό
βήμα γιατί μας ενδιαφέρει η
ασυμπτωτική λύση στο άπειρο

$$\Phi_{i,j}^{n+1} = \frac{1}{4} (\Phi_{i+1,j}^n + \Phi_{i-1,j}^n + \Phi_{i,j+1}^n + \Phi_{i,j-1}^n)$$

Ο δείκτης n δε δηλώνει πλέον, πορεία του συστήματός μας στο φυσικό χρόνο, αλλά την πορεία της σύγκλισης της λύσης μας από μια «τυχαία» αρχική τιμή προς την πραγματική

Μέθοδος Jacobi

$$\Phi_{i,j}^{n+1} = \frac{1}{4} (\Phi_{i+1,j}^n + \Phi_{i-1,j}^n + \Phi_{i,j+1}^n + \Phi_{i,j-1}^n)$$

Μέθοδος Gauss-Seidel

$$\Phi_{i,j}^{n+1} = \frac{1}{4} (\underbrace{\Phi_{i+1,j}^n + \Phi_{i-1,j}^{n+1} + \Phi_{i,j+1}^n + \Phi_{i,j-1}^{n+1}})$$

Over-Relaxation
με $1 < w < 2$

$$\Phi_{i,j}^{n+1} = w\Phi_{ave} + (w-1)\Phi_{i,j}^n$$

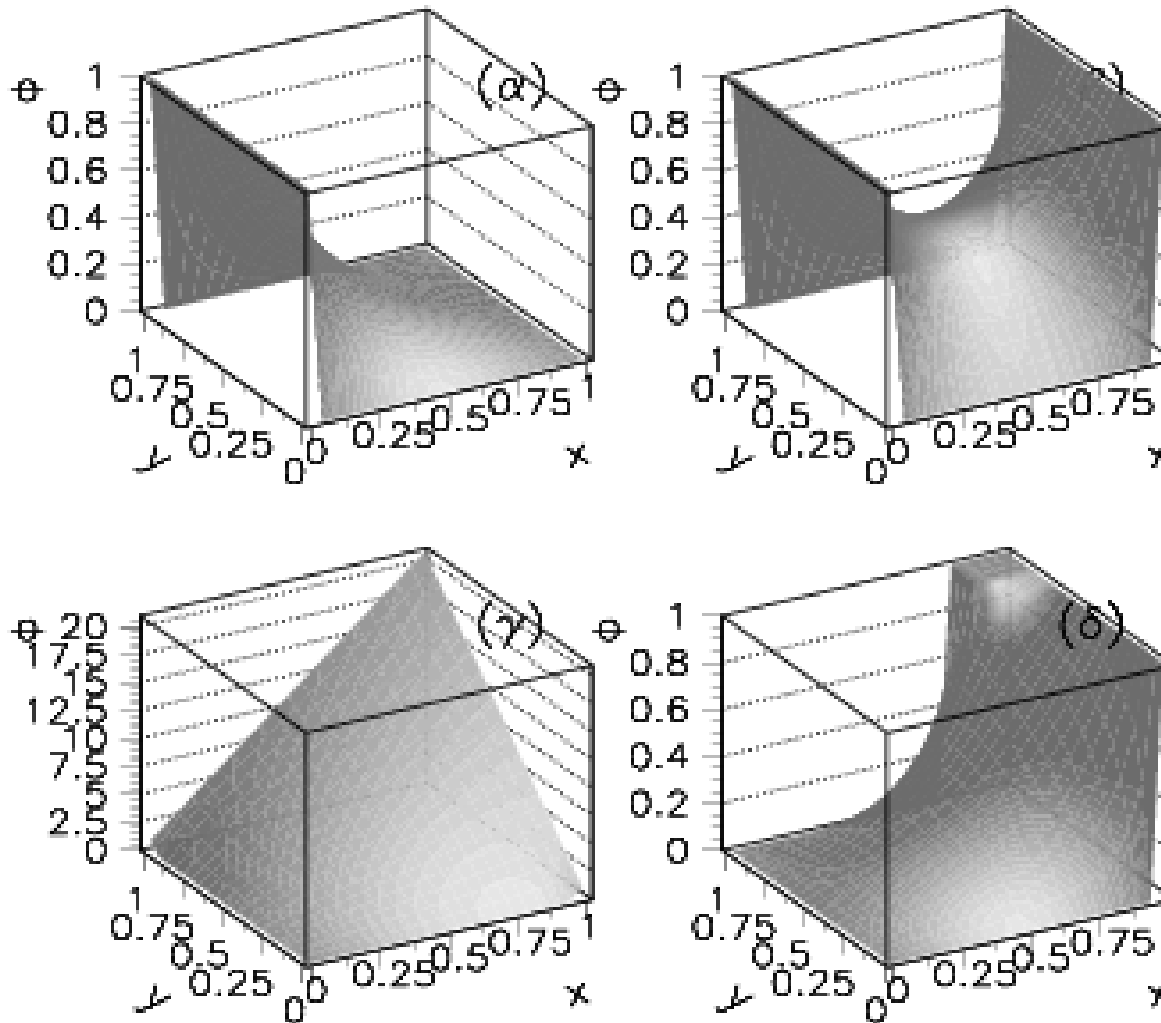
Αλγόριθμος Μεθόδου

- Ορίζουμε το πλέγμα
- Εφαρμόζουμε τις συνοριακές συνθήκες για τα εξωτερικά σημεία
- Δίνουμε την αρχική τιμή του δυναμικού στα εσωτερικά σημεία του πλέγματος
- Εκτελούμε επαναλήψεις προσδιορίζοντας την τιμή του δυναμικού στα εσωτερικά σημεία μέχρι την ικανοποίηση κάποιου κριτηρίου σύγκλισης

```

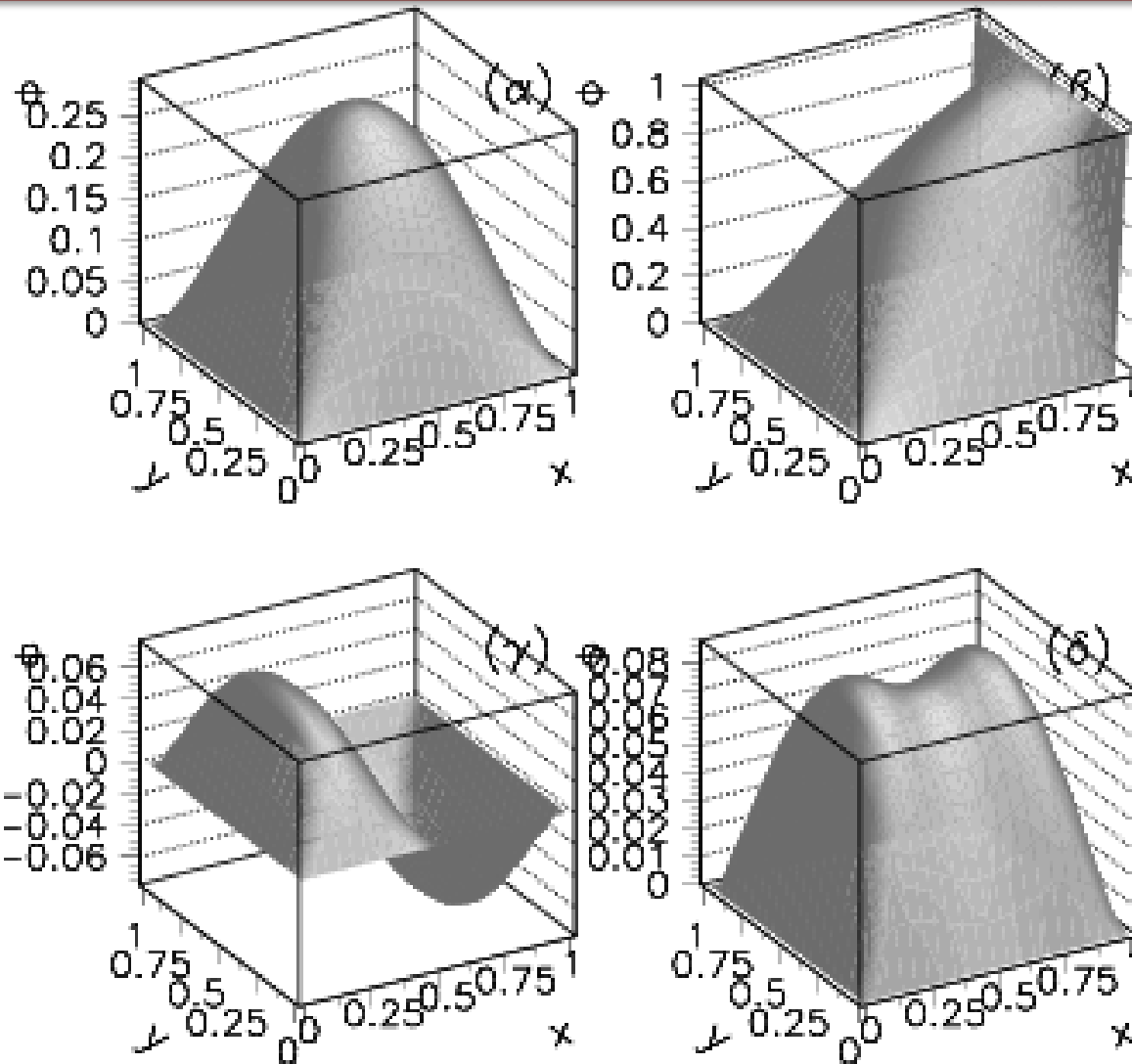
* Set Initial and Boundary conditions
DO I = 1, NX+1
  X(I) = (I-1)*DX
  DO J = 1, NY+1
    Y(J) = (J-1)*DY
    RO(I,J)=0.      ! Charge density
    IF(I.EQ.1) THEN
      FFI(I,J) = 1. ! Boundary condition at X=0.
    ELSE
      FFI(I,J) = 0. ! Initial value of F=0 everywhere
    ENDIF
  ENDDO
ENDDO
DO 100 IT = 1, MAXSTEP ! Loop over the desired steps
  DO 20 I = 2,NX
    DO 10 J = 2,NY
      FNEW(I,J)=
& 0.25*(FFI(I+1,J)+FFI(I-1,J)+FFI(I,J+1)+FFI(I,J-1))
& +DX*DY*RO(I,J) ! charge density
10    CONTINUE
20    CONTINUE
100  CONTINUE

```



Εξίσωση Laplace, σε δύο διαστάσεις, με τη χρήση της μεθόδου εκτόνωσης

α) Δυναμικό $\Phi=1$ για $x=0$ και $\Phi=0$ αλλού. β) Δυναμικό $\Phi=1$ για $x=0$ και $x=L$ και $\Phi=0$ αλλού.
 γ) Γραμμικό δυναμικό για $x=L$ και $y=L$. δ) Δυναμικό $\Phi=1$ για $x=L$ και επιπλέον σε μία γωνία του χώρου.



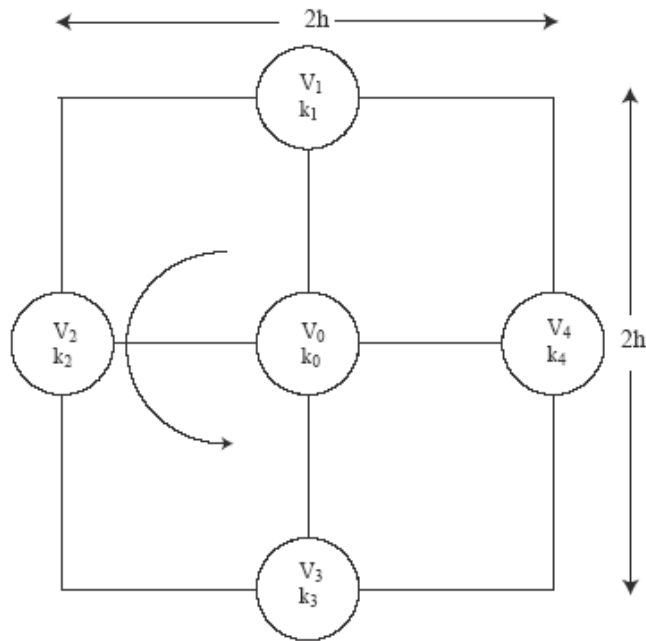
Εξίσωση Poisson, σε δύο διαστάσεις, με τη χρήση της μεθόδου εκτόνωσης

α) Δυναμικό $\Phi=0$ στο σύνορο και ομοιόμορφη κατανομή φορτίου

β) Δυναμικό $\Phi=1$ για $x=0$ και $x=L$ και $\Phi=0$ αλλού και ομοιόμορφη κατανομή φορτίου.

γ) δ) Δυναμικό $\Phi=0$ στο σύνορο και ημιτονοειδής πυκνότητα φορτίου

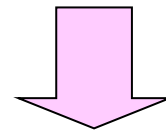
Εξίσωση Poisson: Μέθοδοι εκτόνωσης Εφαρμογή σε διηλεκτρικά υλικά



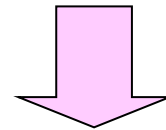
Τα διηλεκτρικά μπορούν να συμπεριληφθούν στην αριθμητική λύση χρησιμοποιώντας την τιμή τους σε κάθε σημείο του πλέγματος και απαιτώντας:

$$D_{1n} = D_{2n} \quad \text{ή}$$

$$0 = \oint_l k \nabla V \cdot d\mathbf{l} = \oint_l k \frac{\partial V}{\partial n} dl,$$



$$0 = k_1 \frac{V_1 - V_0}{h} 2h + k_2 \frac{V_2 - V_0}{h} 2h + k_3 \frac{V_3 - V_0}{h} 2h + k_4 \frac{V_4 - V_0}{h} 2h$$



$$V_0 = \frac{1}{4(k_1 + k_2 + k_3 + k_4)} [k_1 V_1 + k_2 V_2 + k_3 V_3 + k_4 V_4]$$

Εξίσωση Laplace: Μέθοδοι εκτόνωσης Εφαρμογή σε κυματοδηγούς

Επίλυση της κυματικής εξίσωσης:

Όπου $\Phi = E_z$ για ΕΗ κύματα

$\Phi = B_z$ για ΕΜ κύματα

$$\nabla^2 \Phi + k^2 \Phi = 0$$

$$k^2 = \omega^2 \mu \epsilon - \beta^2$$

Για να εφαρμόσουμε τη μέθοδο πεπερασμένων διαφορών διακριτοποιούμε την τομή του κυματοδηγού και οδηγούμαστε στην:

$$\Phi(i+1,j) + \Phi(i-1,j) + \Phi(i,j+1) + \Phi(i,j-1) = (4 - h^2 k^2) \Phi(i,j), \quad h = \Delta x = \Delta y$$

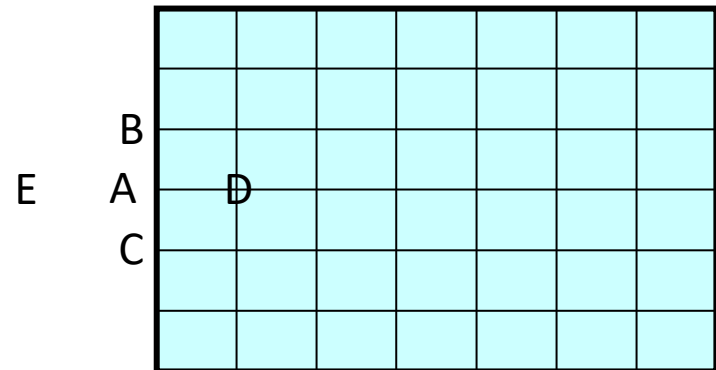
Συνοριακές Συνθήκες

Για ΕΜ κύματα

Συνθήκη Dirichlet: $\Phi_A = 0$

Για ΕΗ κύματα

Συνθήκη Neumann: $\frac{\partial \Phi}{\partial n} \Big|_A = 0, \quad \Phi_E = \Phi_D$



$$\Phi_B + \Phi_C + 2\Phi_D - (4 - h^2 k^2) \Phi_A = 0$$



Επίλυση προβλήματος ιδιοτιμών

$$A\Phi = \lambda\Phi$$

Έμπνευση από αναλυτικές τεχνικές

Λύση ως άπειρο άθροισμα συναρτήσεων βάσης

Προσεγγιστική
λύση της μορφής

$$\begin{aligned}\Phi(x, y) &= \Phi_{\alpha}(x, y) + E(x, y) \\ &= \sum_{k=1}^K \alpha_k f_k(x, y) + E(x, y)\end{aligned}$$

π.χ. Εισάγοντας την παραπάνω λύση στην εξίσωση Poisson

$$\nabla^2 \left[\sum_k \alpha_k f_k(x, y) \right] + \frac{1}{\varepsilon_0} \rho(x, y) = R(x, y)$$

Σκοπός μας είναι
η ελαχιστοποίηση του υπολοίπου

$$R(x, y) = -\nabla^2 E(x, y)$$

Η μέθοδος **Galerkin**, απαιτεί η συνάρτηση του υπολοίπου να είναι ορθογώνια με όλες τις δοκιμαστικές συναρτήσεις.

$$\int_0^L dx \int_0^L dy f_k(x, y) R(x, y) = 0$$

Έστω καρτεσιανό πρόβλημα με συνοριακές συνθήκες τύπου Neumann

$$f_{m,n}(x, y) = \cos\left(m\pi x/L\right) \cos\left(n\pi y/L\right) \quad \text{με } m, n=0, 1, \dots, M.$$

Η λύση μας θα δίνεται από μια έκφραση της μορφής:

$$\Phi_{\alpha}(x, y) = \sum_{m=0}^M \sum_{n=0}^M \alpha_{m,n} \cos\left(m\pi x/L\right) \cos\left(n\pi y/L\right)$$

Όπου πρέπει να υπολογίσουμε τους συντελεστές $\alpha_{m,n}$

Εισάγωντας τη λύση στην εξίσωση Poisson θα έχουμε:

$$-\sum_{m=0}^M \sum_{n=0}^M \alpha_{m,n} (m^2 + n^2) \frac{\pi^2}{L^2} f_{m,n}(x, y) + \frac{1}{\varepsilon_0} \rho(x, y) = R(x, y)$$

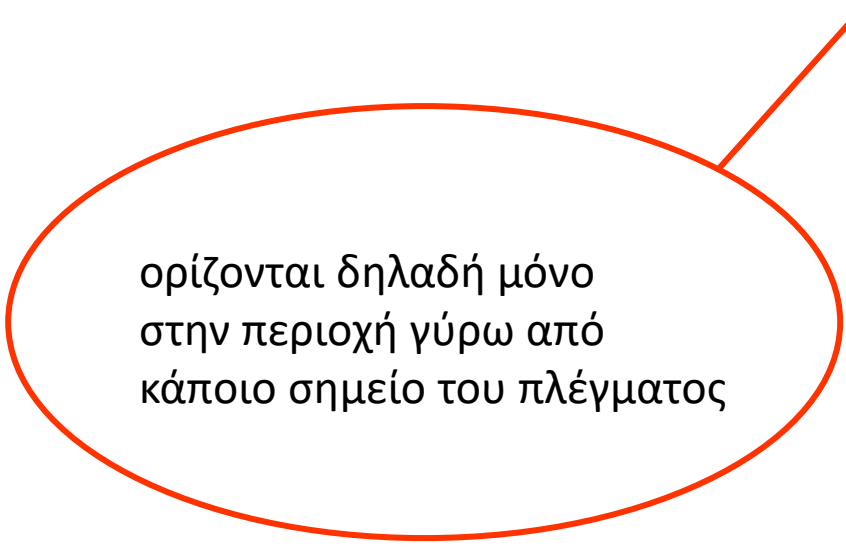
Εφαρμόζοντας στη συνέχεια και στα δύο μέρη

$$\int_0^L dx \int_0^L dy f_{m',n'}(x, y)$$

και χρησιμοποιώντας τις σχέσεις ορθογωνιότητας

$$\alpha_{m,n} = \frac{4}{\pi^2 \varepsilon_0 (m^2 + n^2) (1 + \delta_{m,0}) (1 + \delta_{n,0})} \int_0^L dx \int_0^L dy \rho(x, y) \cos(m\pi x/L) \cos(n\pi y/L)$$

- έκφραση της λύσης σαν ένα πεπερασμένο άθροισμα ορθογωνίων συναρτήσεων
- σχεδιάζονται με σκοπό την επίλυση με πολύπλοκες συνοριακές συνθήκες
- οι συναρτήσεις αυτές είναι τοπικές



ορίζονται δηλαδή μόνο
στην περιοχή γύρω από
κάποιο σημείο του πλέγματος

•

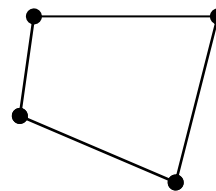
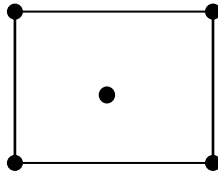
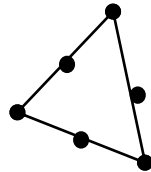
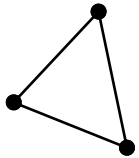
Ο συνεχής χώρος στον οποίο αναζητούμε τη λύση χωρίζεται σε υποπεριοχές που ονομάζονται πεπερασμένα στοιχεία.

Παραδείγματα πεπερασμένων στοιχείων σε 1,2 και 3 διαστάσεις

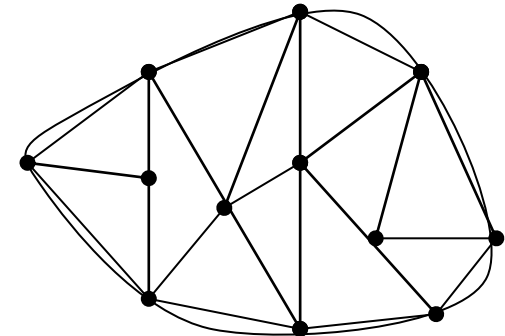
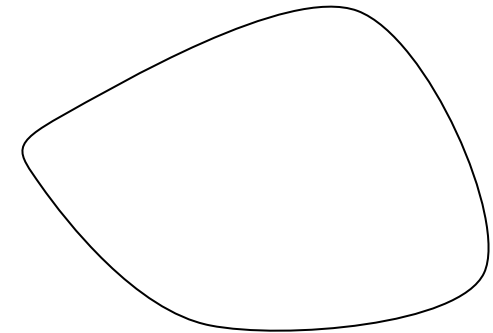
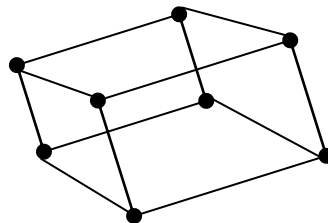
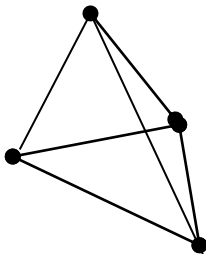
1d



2d



3d



Διαχωρισμός περιοχής σε
Πεπερασμένα στοιχεία

π.χ. στη μονοδιάστατη εξίσωση Poisson

Αν εισάγουμε λύση της μορφής

$$\Phi_n(x) = \sum_{i=1}^n \alpha_i f_i(x)$$

Θα έχουμε ένα υπόλοιπο από την πραγματική λύση

$$r_n(x) = \frac{d^2 \Phi_n(x)}{dx^2} + \frac{\rho(x)}{\varepsilon_0}$$

Ο σκοπός στη συνέχεια είναι να επιλέξουμε ένα σχήμα που κατά την επιλογή των α_i , θα ελαχιστοποιούσε τα υπόλοιπα r_n , σε όλο το χώρο

Συνήθως επιλέγονται πολυωνυμικές συναρτήσεις για τα f_i , π.χ.:

1d $f_i(x)=a+bx$

2d τριγωνικό στοιχείο: $f_i(x,y)=a+bx+cy$

2d τετράπλευρο στοιχείο: $f_i(x,y)=a+bx+cy+dxy$ κ.ο.κ

Η περιοχή ενδιαφέροντος διαιρείται σε πολλά μικρά μέρη,
συνήθως της ίδιας τοπολογίας (για να διευκολύνονται οι υπολογισμοί), αλλά όχι
απαραίτητα του ίδιου μεγέθους

Επιλέγονται οι τοπικές συναρτήσεις f_i και οι συναρτήσεις βάρους w_i
με σκοπό το μηδενισμό του ολοκληρώματος:


$$g_i = \int_0^1 r_n(x) w_i(x) dx$$

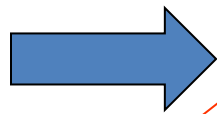
παντού στο χώρο

Αν $w_i = f_i$, τότε έχουμε το λεγόμενο σχήμα Galerkin

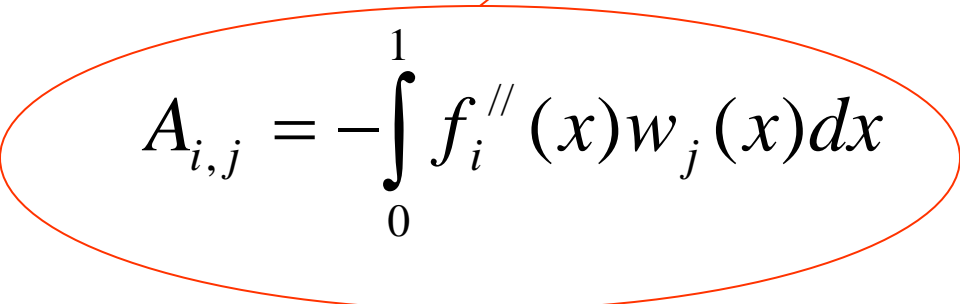
Στη μονοδιάστατη
Εξίσωση Poisson

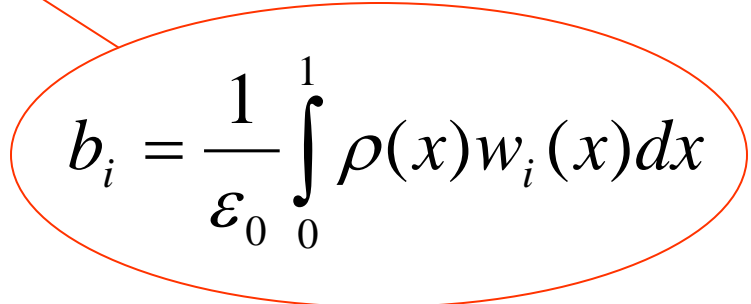
$$g_i = \int_0^1 r_n(x) w_i(x) dx$$


$$g_i = \int_0^1 \left(\sum_{j=1}^n a_j f_j'' + \rho(x) / \varepsilon_0 \right) w_i(x) dx = 0$$



$$\mathbf{A}\mathbf{a}=\mathbf{b}$$


$$A_{i,j} = -\int_0^1 f_i''(x) w_j(x) dx$$


$$b_i = \frac{1}{\varepsilon_0} \int_0^1 \rho(x) w_i(x) dx$$

Εξίσωση Poisson

Μέθοδοι Πεπερασμένων στοιχείων

Έστω ότι χρησιμοποιούμε τοπικές συναρτήσεις
και αντίστοιχα βάρη της μορφής

$$f_i(x) = \begin{cases} \frac{(x - x_{i-1})}{h} & x_{i-1} < x < x_i \\ \frac{(x_{i+1} - x)}{h} & x_i < x < x_{i+1} \\ 0 & \text{αλλου} \end{cases} \Rightarrow A_{ij} = \int_0^1 f'_i(x) f'_j(x) dx = \begin{cases} \frac{2}{h} & i = j \\ -\frac{1}{h} & i = j \pm 1 \\ 0 & \text{αλλου} \end{cases}$$

Έστω ότι η πυκνότητα φορτίου στο πρόβλημά μας
είναι αντίστοιχα της μορφής

$$\rho(x) = \frac{\pi^2}{\varepsilon} \sin \pi x \Rightarrow \begin{aligned} b_i &= \frac{1}{\varepsilon} \int_0^1 \rho(x) f_i(x) dx \\ &= \frac{\pi}{h} (x_{i-1} + x_{i+1} - 2x_i) \cos \pi x_i \\ &\quad + \frac{1}{h} (2 \sin \pi x_i - \sin \pi x_{i-1} - \sin \pi x_{i+1}) \end{aligned}$$

```

PI    =  4.0*ATAN(1.0)
XL    =  1.0
H     =  XL/(N+1)
D     =  2.0/H
E     = -1.0/H
B0    =  PI/H
B1    =  1.0/H

```

C Find the elements in L and U

```

W(1) =  D
U(1) =  E/D
DO      100 I = 2, N
    W(I) = D-E*U(I-1)
    U(I) = E/W(I)

```

100 CONTINUE

C Assign the array B

```

DO      200 I = 1, N
    XIM  = H*(I-1)
    XI   = H*I
    XIP  = H*(I+1)
    B(I) = B0*COS(PI*XD)*(XIM+XIP-2.0*XI)
    *      +B1*(2.0*SIN(PI*XI)-SIN(PI*XIM)-SIN(PI*XIP))

```

200 CONTINUE

C Find the solution

```

Y(1) = B(1)/W(1)
DO      300 I = 2, N
    Y(I) = (B(I)-E*Y(I-1))/W(I)

```

300 CONTINUE

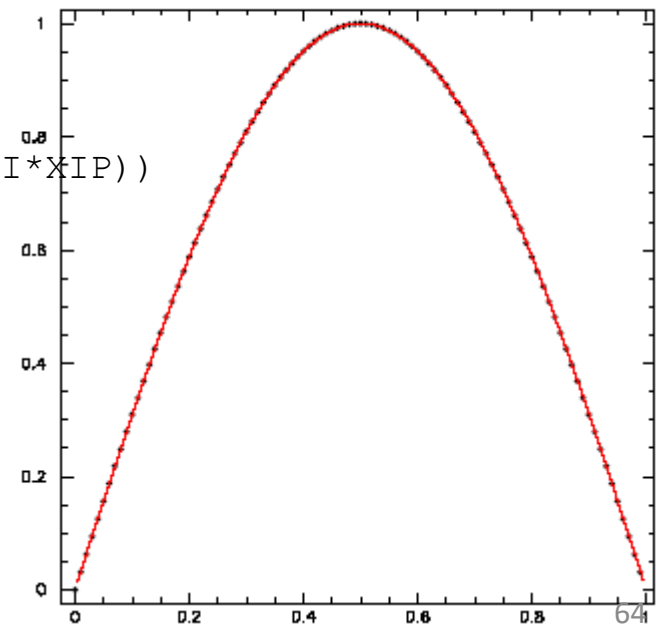
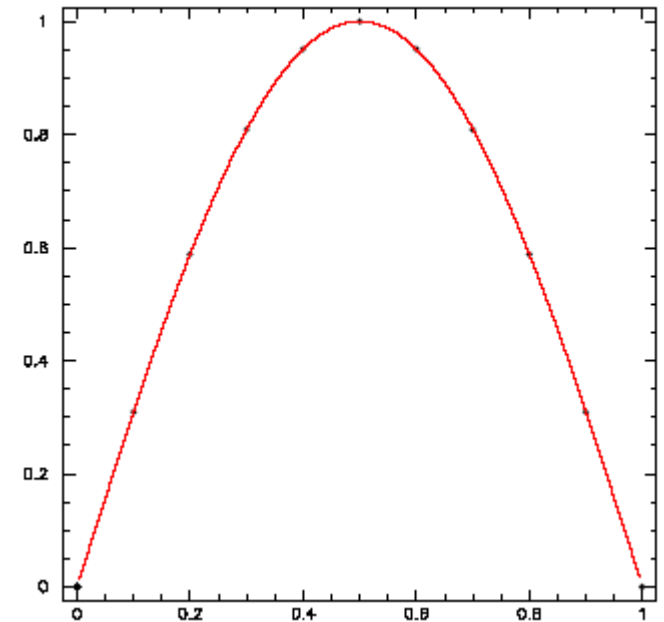
C

```

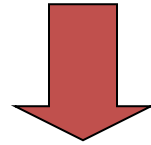
A(N) = Y(N)
DO      400 I = N-1,1,-1
    A(I) = Y(I)-U(I)*A(I+1)

```

400 CONTINUE



Αλλαγή συνοριακών συνθηκών, π.χ. $\Phi(0)=\Phi_0$ και $\Phi(1)=\Phi_1$



$$\Phi_n(x) = (1-x)\Phi_0 + x\Phi_1 + \sum_{i=1}^n a_i f_i(x)$$

Θέτουμε τους δύο πρώτους όρους για να ικανοποιήσουν τις συνοριακές συνθήκες, δεδομένου ότι το άθροισμα μηδενίζεται στο σύνορο.

... αντίστοιχα για συνοριακές συνθήκες τύπου Neumann

